

# 陽子崩壊

石塚正基（東京理科大学）

2021年6月10日

高エネルギー将来計画委員会：第11回 勉強会

# Contents

- 陽子崩壊を探索するモチベーション
- 陽子崩壊（核子崩壊）を探索する実験（Super-Kamiokande）
- 陽子崩壊探索の展望

陽子崩壊を探索するモチベーション

# 素粒子標準模型

Fermions: quarks

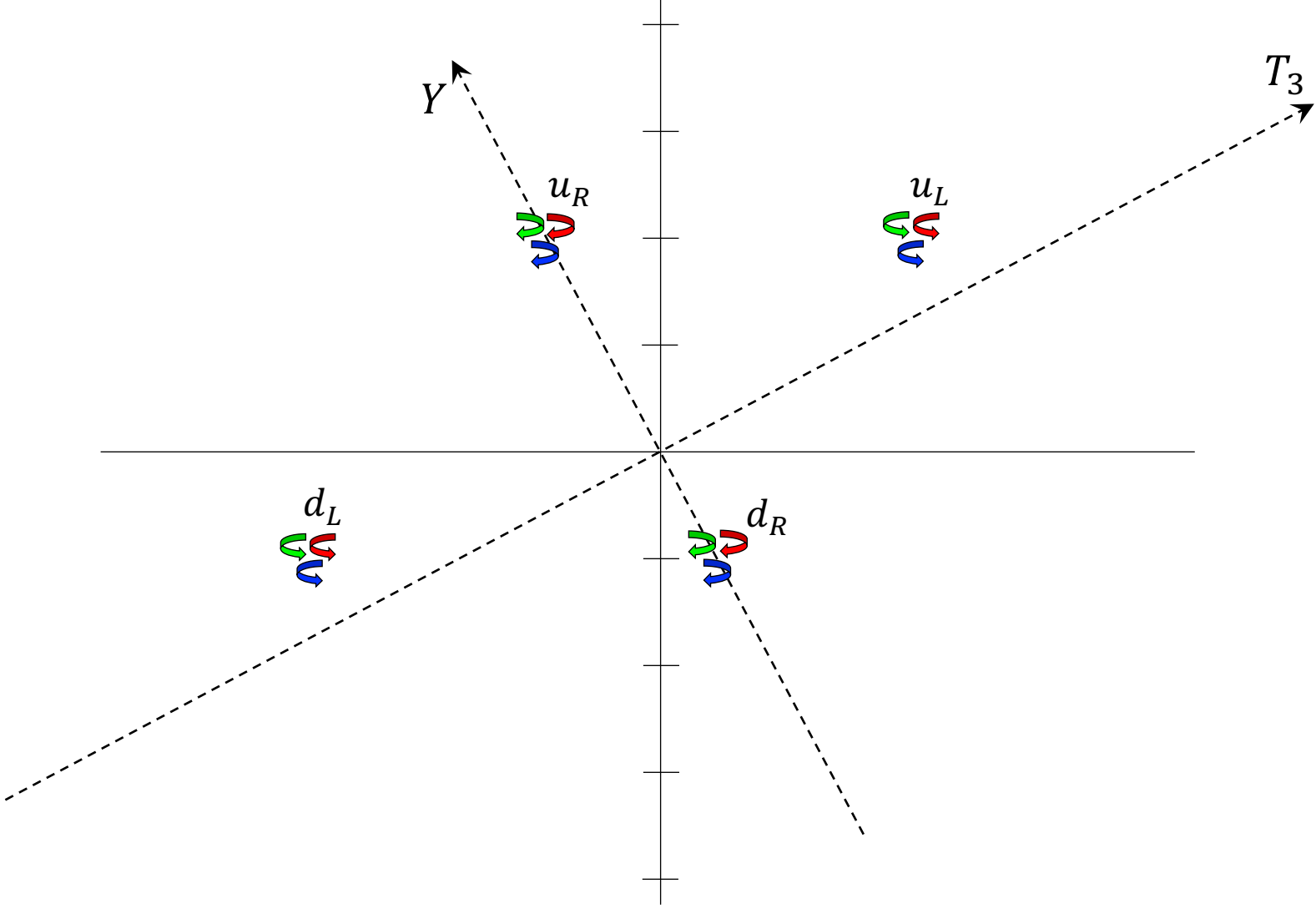
$$\left(N_{SU(3)}, N_{SU(2)}, \frac{Y}{2}\right)$$

$$\begin{pmatrix} u \\ d \end{pmatrix}_L \quad \left(3, 2, \frac{1}{6}\right)$$

$$u_R \quad \left(3, 1, \frac{2}{3}\right)$$

$$d_R \quad \left(3, 1, -\frac{1}{3}\right)$$

$$Q = T_3 + \frac{Y}{2}$$



# 素粒子標準模型

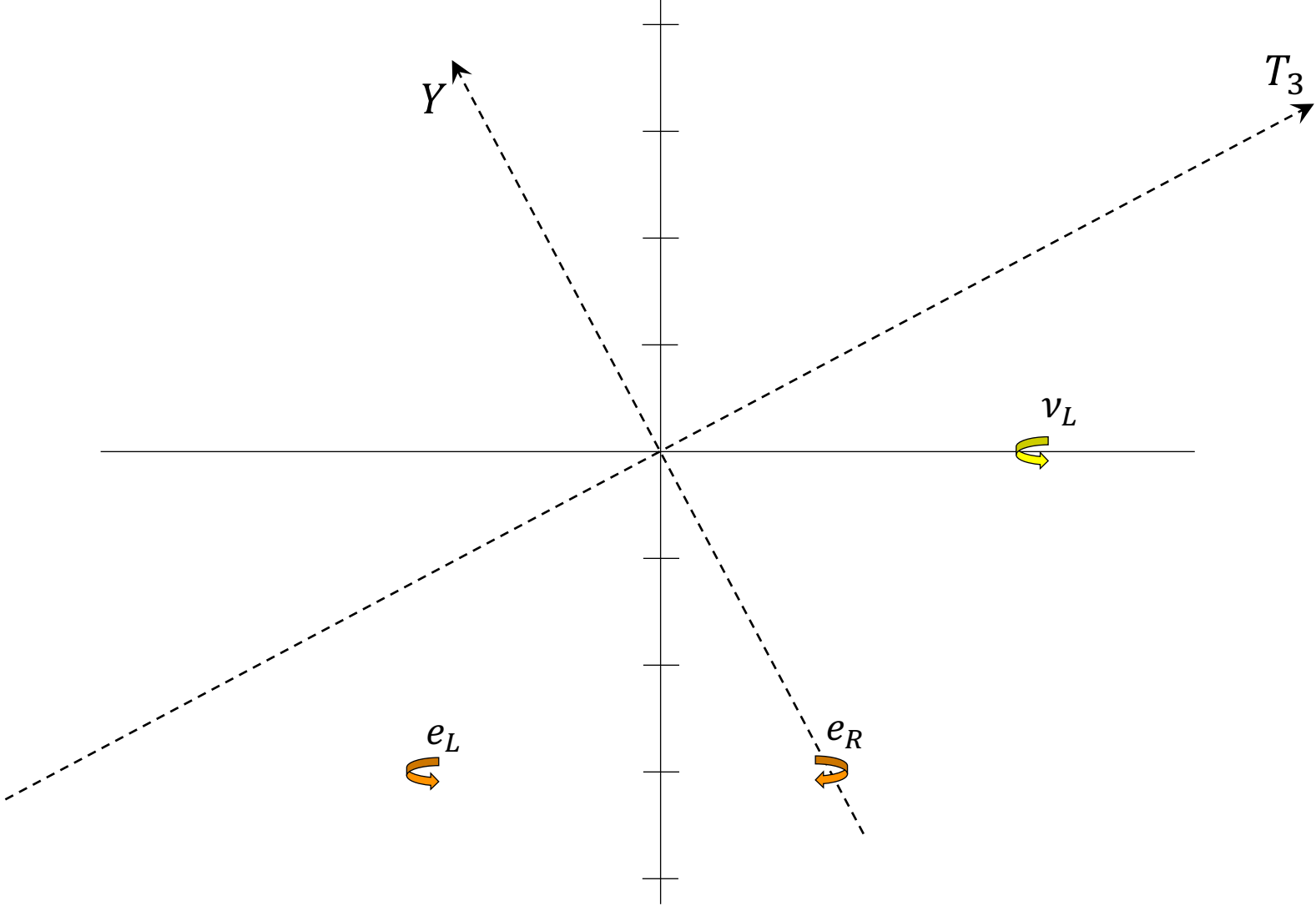
Fermions: leptons

$$\left(N_{SU(3)}, N_{SU(2)}, \frac{Y}{2}\right)$$

$$\begin{pmatrix} \nu_e \\ e \end{pmatrix}_L \quad \left(1, 2, -\frac{1}{2}\right)$$

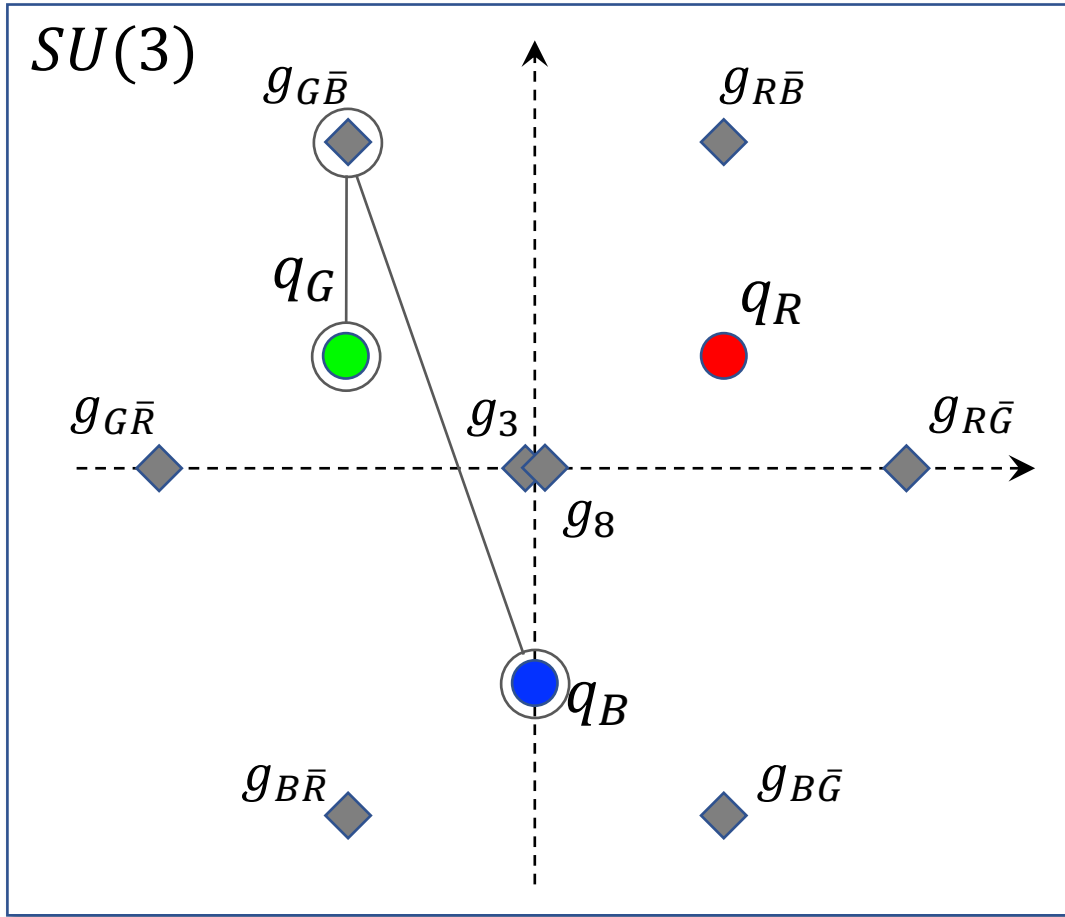
$$e_R \quad (1, 1, -1)$$

$$Q = T_3 + \frac{Y}{2}$$

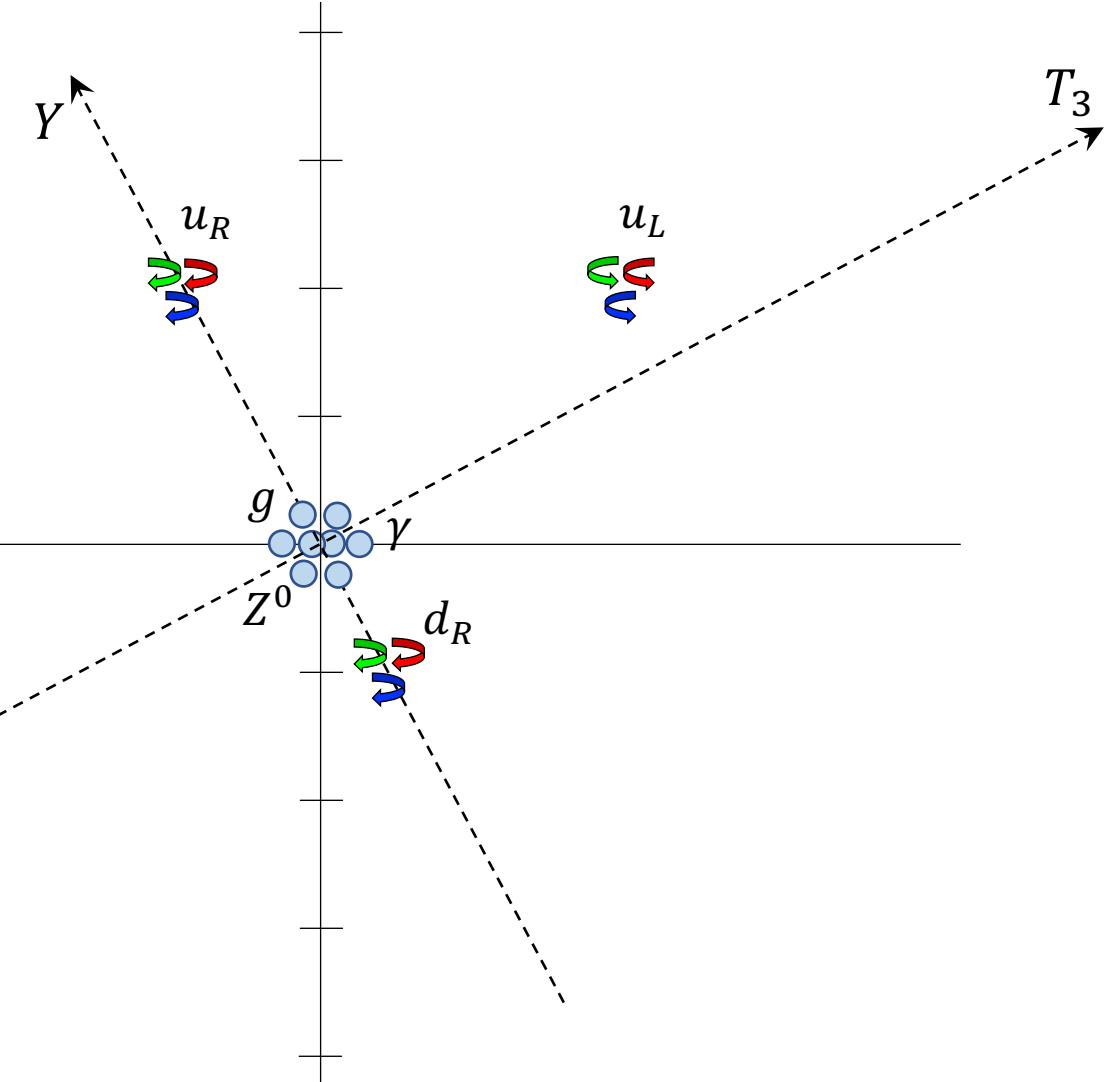


# 素粒子標準模型

Gauge bosons: QCD



$$Q = T_3 + \frac{Y}{2}$$

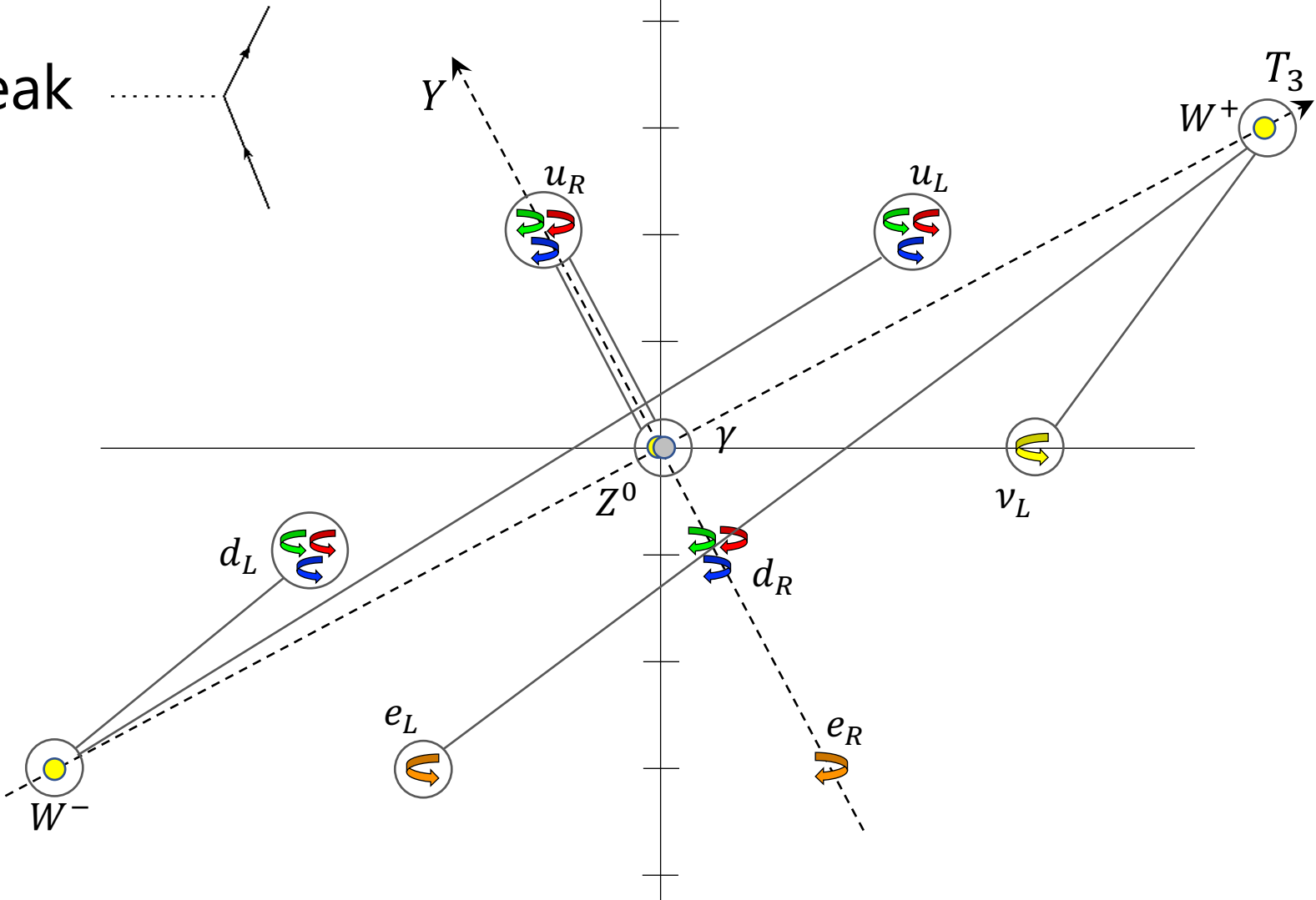


# 素粒子標準模型

Gauge bosons: electroweak

$$SU(2) \times U(1)$$

$$Q = T_3 + \frac{Y}{2}$$



# 素粒子標準模型

まとめると

Fermions (物質)

Quarks & Leptons

反粒子

3世代

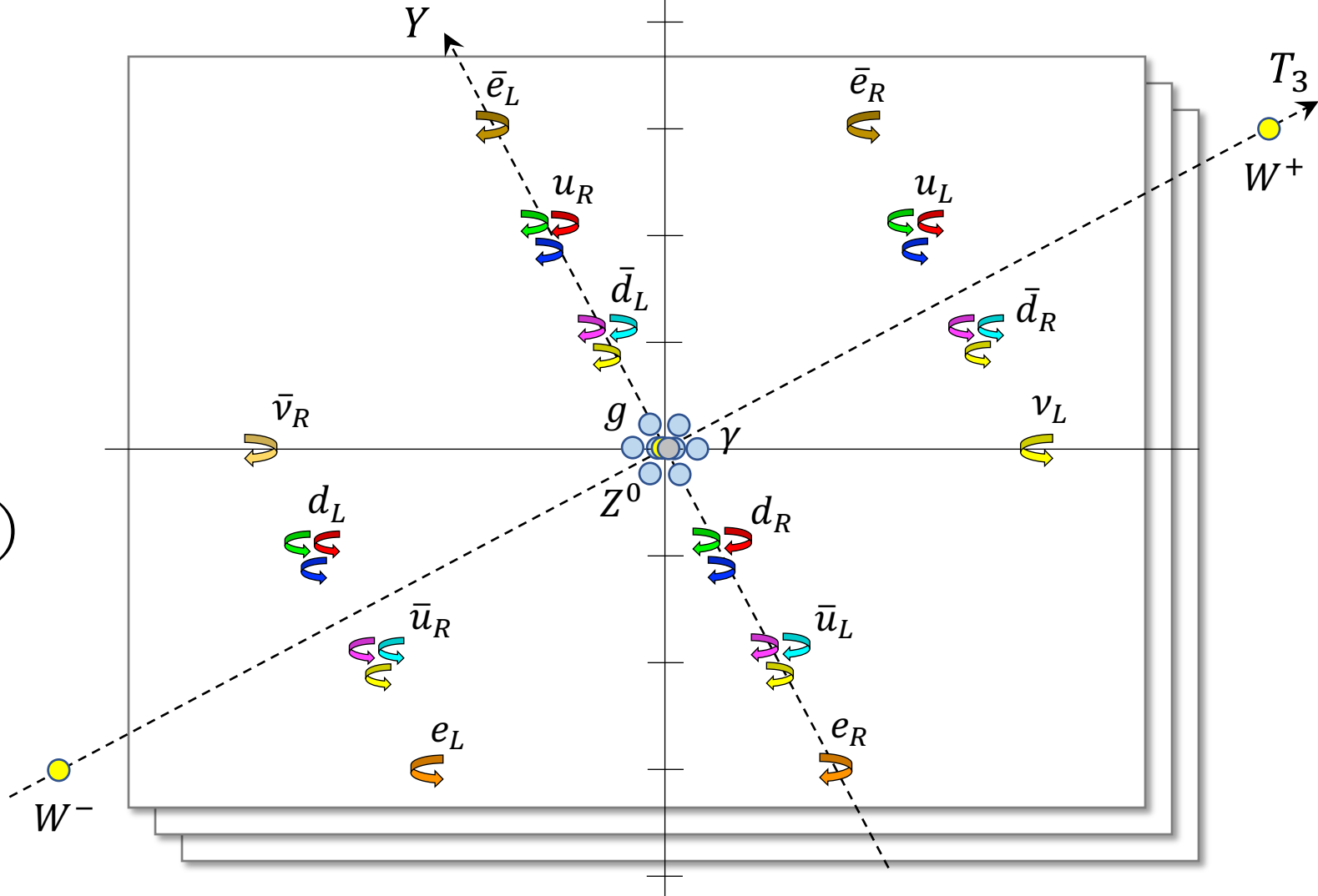
Gauge bosons (相互作用)

$SU(3) \times SU(2) \times U(1)$

自然是そうなっている。

が、標準模型を一通り見ると、寄せ集め感はある。

$$Q = T_3 + \frac{Y}{2}$$



素粒子標準模型  $\Rightarrow$  大統一理論

Fermions (物質)

Quarks & Leptons

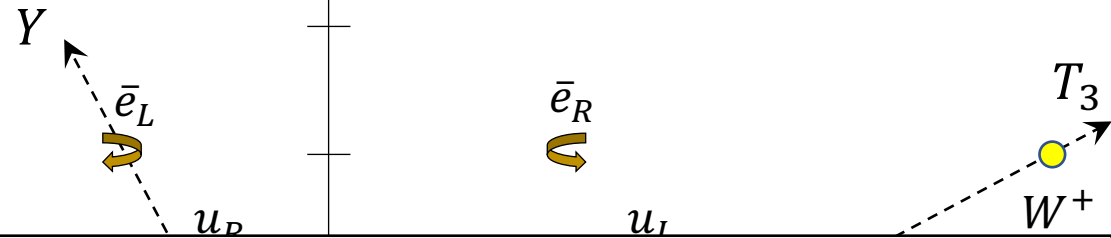
$\Rightarrow$  統一

Gauge bosons (相互作用)

$SU(3) \times SU(2) \times U(1)$

$\Rightarrow$  統一

$$Q = T_3 + \frac{Y}{2}$$



VOLUME 32, NUMBER 8

PHYSICAL REVIEW LETTERS

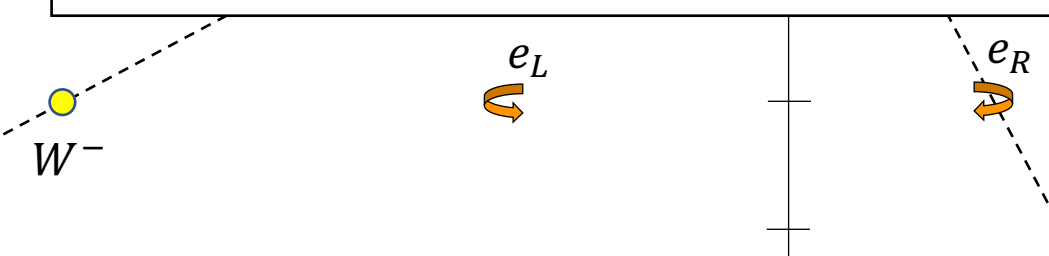
25 FEBRUARY 1974

### Unity of All Elementary-Particle Forces

Howard Georgi\* and S. L. Glashow

*Lyman Laboratory of Physics, Harvard University, Cambridge, Massachusetts 02138*  
(Received 10 January 1974)

$$SU(5) \supset SU(3) \times SU(2) \times U(1)$$



# 大統一理論: $SU(5)$

**5\* 表現**

物質  $5^* = \begin{pmatrix} d_R^c \\ d_R^c \\ d_R^c \\ e_L \\ -\nu_L \end{pmatrix}$

**10 表現**

$10 = \begin{pmatrix} 0 & u_R^c - u_R^c & -u_L & -d_L \\ -u_R^c & 0 & u_R^c & -u_L & -d_L \\ u_R^c & -u_R^c & 0 & -u_L & -d_L \\ u_L & u_L & u_L & 0 & -e_R^c \\ d_L & d_L & d_L & e_R^c & 0 \end{pmatrix}$

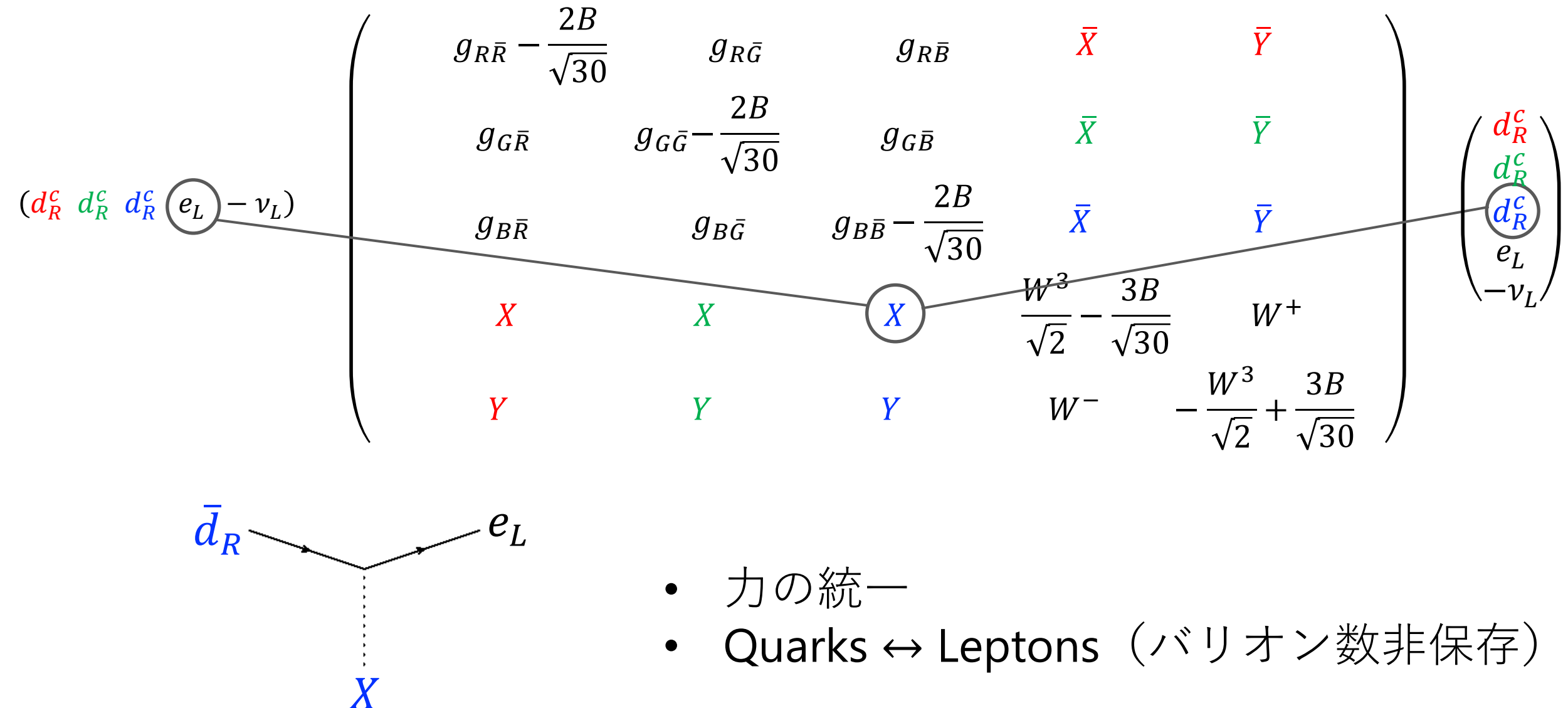
**1 表現**

$1 = \nu_R^c$

**24 表現**

相互作用  $V = \begin{pmatrix} g_{R\bar{R}} - \frac{2B}{\sqrt{30}} & g_{R\bar{G}} & g_{R\bar{B}} & \bar{X} & \bar{Y} \\ g_{G\bar{R}} & g_{G\bar{G}} - \frac{2B}{\sqrt{30}} & g_{G\bar{B}} & \bar{X} & \bar{Y} \\ g_{B\bar{R}} & g_{B\bar{G}} & g_{B\bar{B}} - \frac{2B}{\sqrt{30}} & \bar{X} & \bar{Y} \\ X & X & X & \frac{W^3}{\sqrt{2}} - \frac{3B}{\sqrt{30}} & W^+ \\ Y & Y & Y & W^- & -\frac{W^3}{\sqrt{2}} + \frac{3B}{\sqrt{30}} \end{pmatrix}$

# 大統一理論: $SU(5)$



# 大統一理論: $SU(5)$

$$\begin{pmatrix}
 & g_{R\bar{R}} - \frac{2B}{\sqrt{30}} & g_{R\bar{G}} & g_{R\bar{B}} \\
 & g_{G\bar{R}} & g_{G\bar{G}} - \frac{2B}{\sqrt{30}} & g_{G\bar{B}} \\
 & g_{B\bar{R}} & g_{B\bar{G}} & g_{B\bar{B}} - \frac{2B}{\sqrt{30}} \\
 (d_R^c \ d_R^c \ d_R^c \ e_L \ -\nu_L) & \left( \begin{matrix} & \\ & \end{matrix} \right) & \left( \begin{matrix} W^3 - \frac{3B}{\sqrt{30}} & W^+ \\ W^- & -\frac{W^3}{\sqrt{2}} + \frac{3B}{\sqrt{30}} \end{matrix} \right) & \left( \begin{matrix} d_R^c \\ d_R^c \\ d_R^c \\ e_L \\ -\nu_L \end{matrix} \right)
 \end{pmatrix}$$

$X, Y$  は非常に重いので低いエネルギー（現在の実験で調べられる範囲）では

Fermions (物質)

Quarks & Leptons

Gauge bosons (相互作用)

$SU(5) \rightarrow [SU(3)] \times [SU(2)] \times U(1)$

# 大統一理論

Fermions (物質)

Quarks & Leptons

⇒ 統一

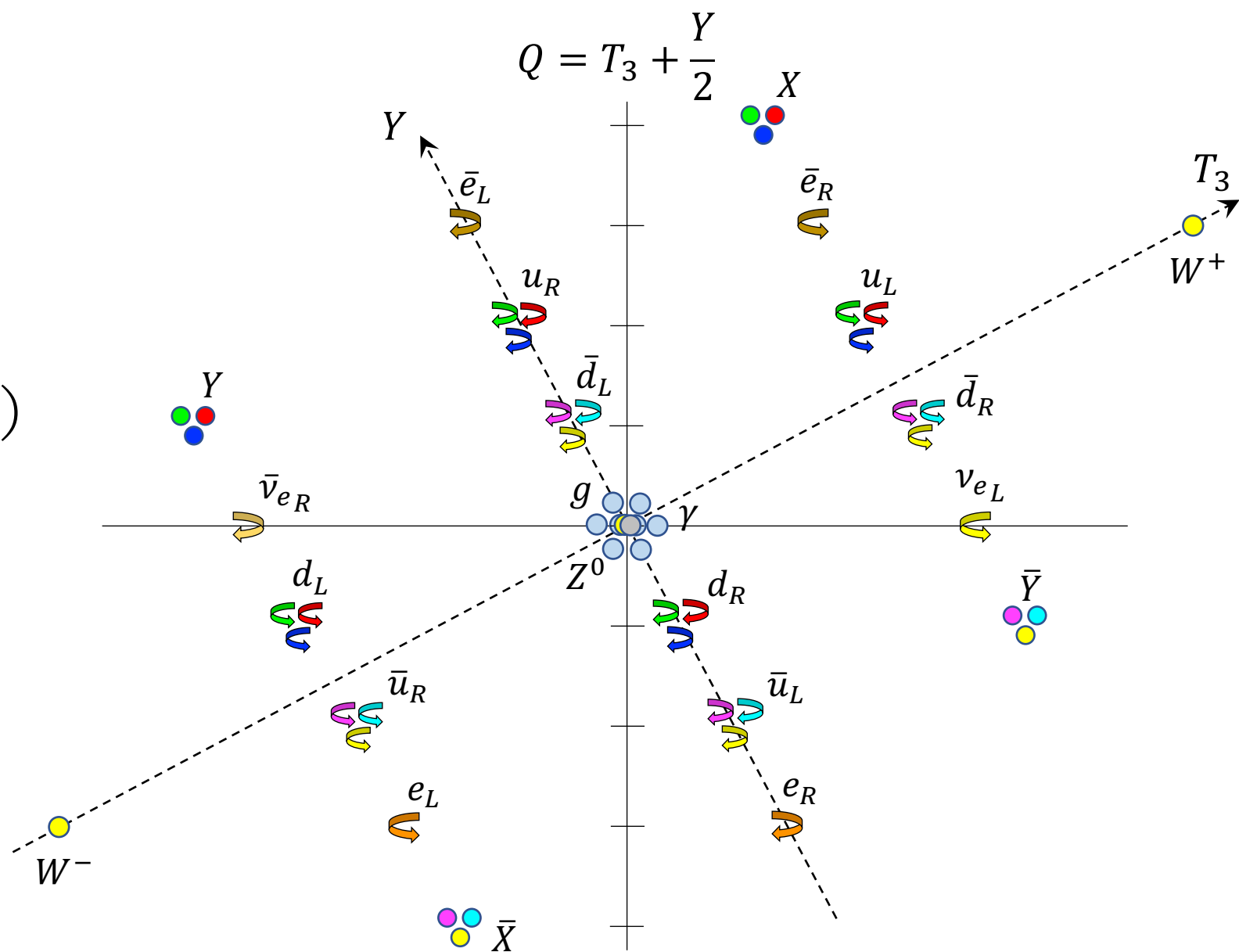
Gauge bosons (相互作用)

$SU(3) \times SU(2) \times U(1)$

⇒ 統一

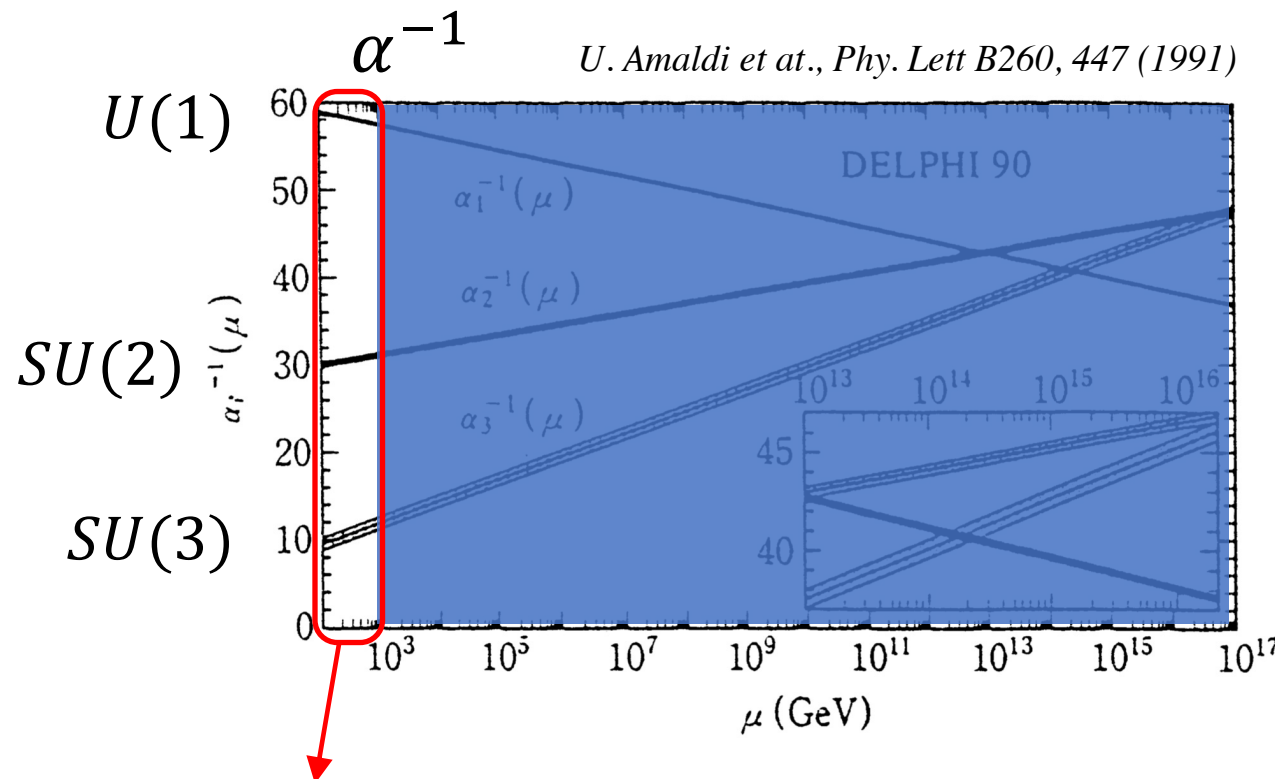
すごく自然で本当のことの  
ように思える。

⇒ 実験のモチベーション十分



# 大統一理論：その他のモチベーション

## ① ゲージ結合定数の統一



それぞれのエネルギー依存性が高いエネルギーでの統一を示唆している

## ② 電荷の量子化

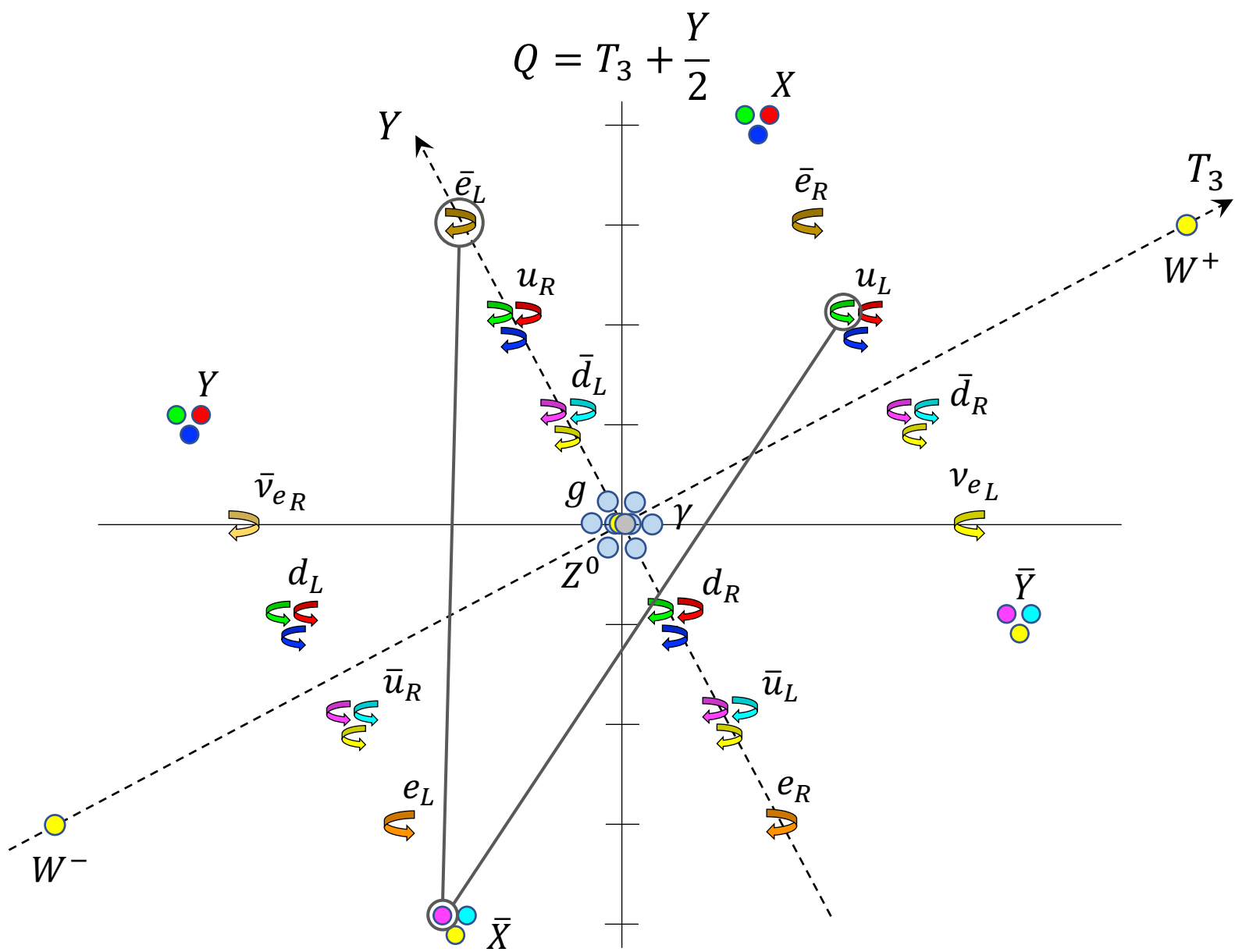
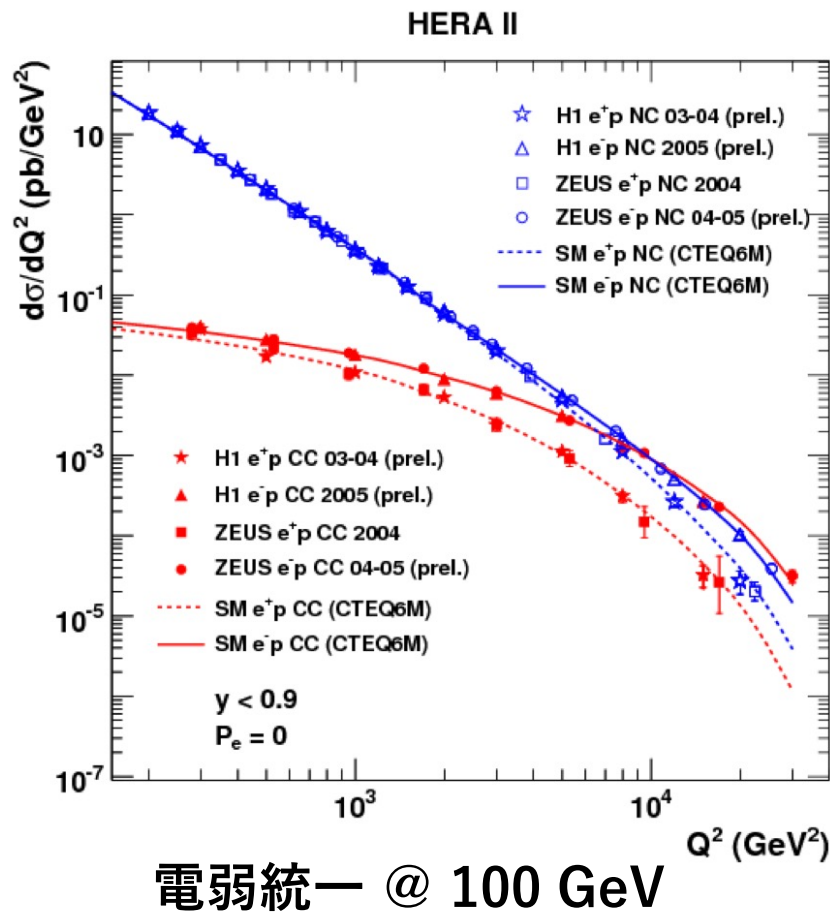
- 陽子と電子の電荷の和が 0 であることの自然な説明

## ③ バリオン数非保存の導入

- バリオン数保存の理論的な裏付けがない
- 一方で、物質の起源を説明するためにはバリオン数の破れが必要とされる
  - サハロフの 3 条件

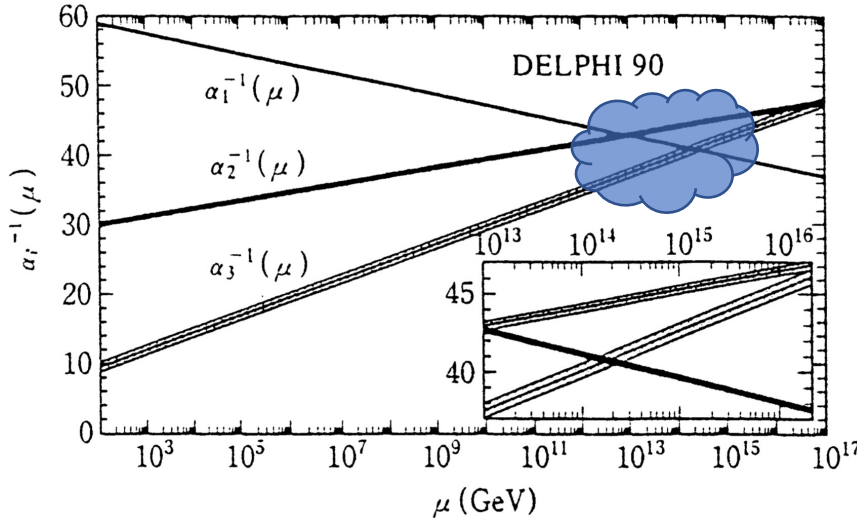
# 大統一理論：検証

どうやって検証するか？



# 大統一理論：検証

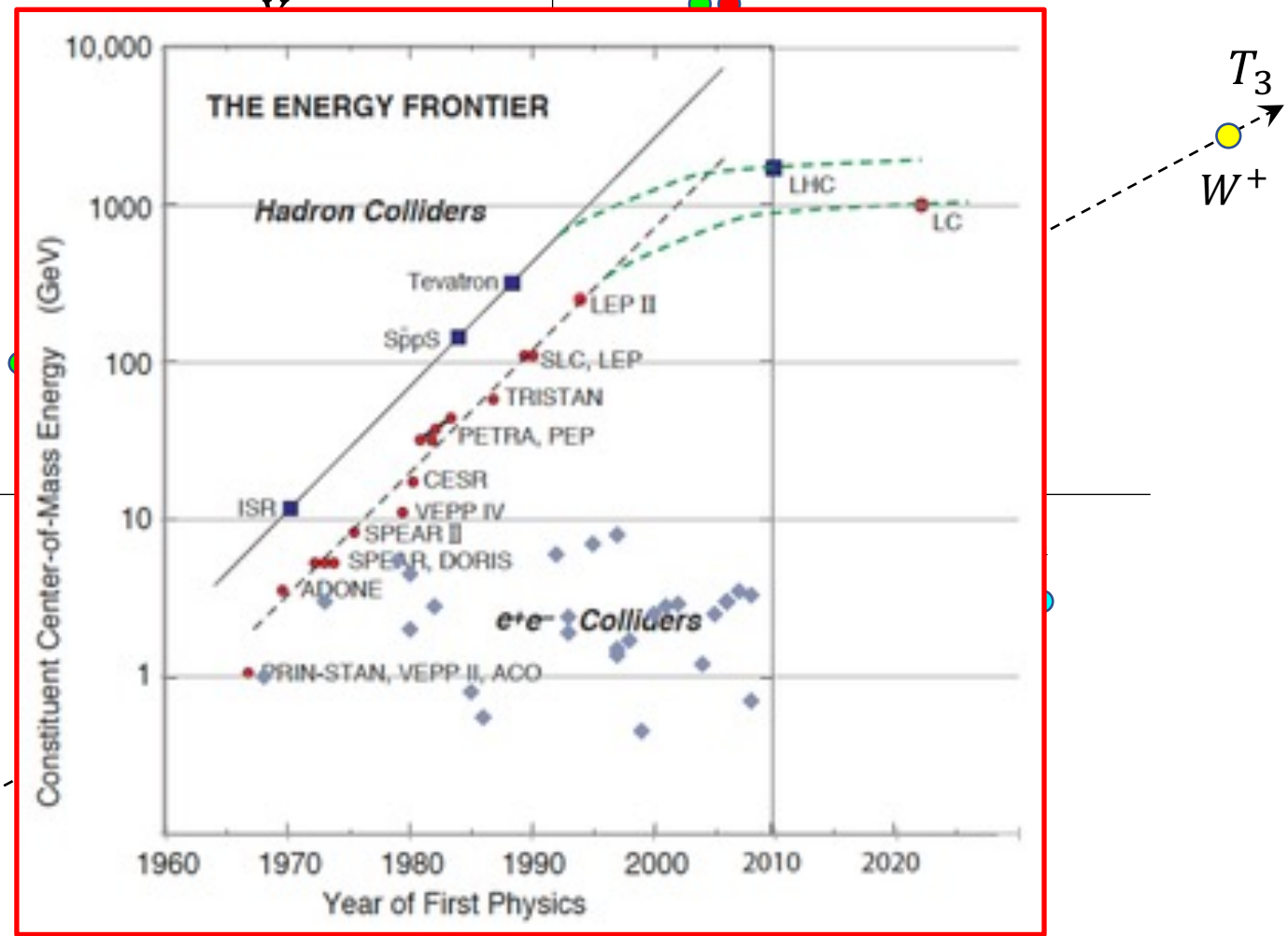
どうやって検証するか？



$10^{13} \sim 10^{16}$  GeVが目標?  
(後述)

しかし、 $10^{15}$  GeV のGUTコライダーは難しい

$$Q = T_3 + \frac{Y}{2} X$$



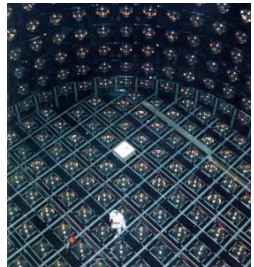
# 大統一理論：検証

どうやって検証するか？

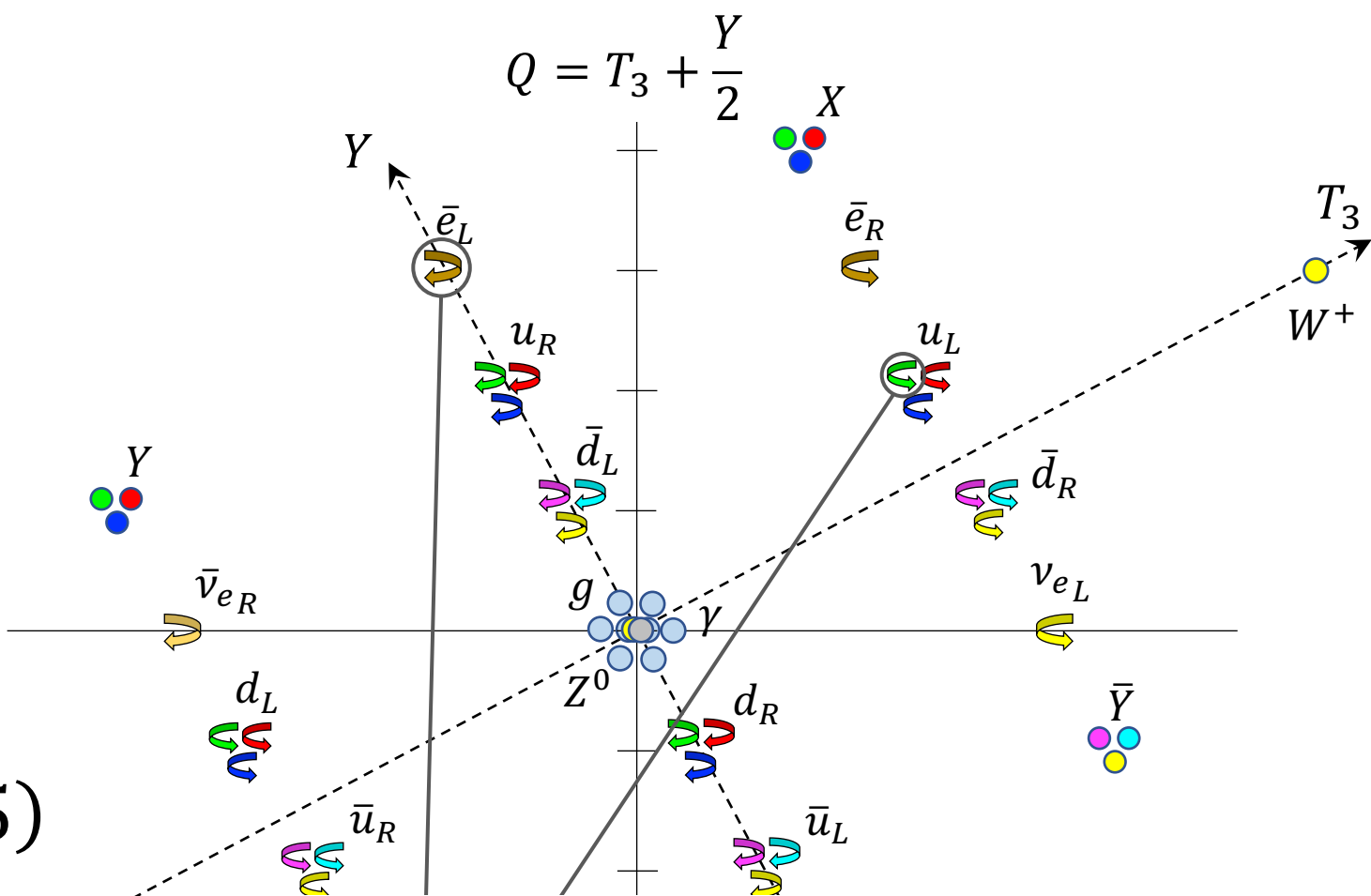
$$p \left\{ \begin{array}{c} u \xrightarrow{\quad X \quad} e^+ \\ u \xrightarrow{\quad X \quad} \bar{d} \\ d \xrightarrow{\quad X \quad} d \end{array} \right\} \pi^0$$

陽子崩壊を予言

$$\tau \sim \frac{M_X^4}{\alpha^2 M_p^5} \sim 10^{30} \text{年 in SU(5)}$$



地下実験：  
陽子を集めて崩壊を待つ



$\Rightarrow \begin{bmatrix} \text{IMB} \\ \text{Kamiokande} \\ \text{Super-Kamiokande} \end{bmatrix}$  で棄却

# 大統一理論：検証

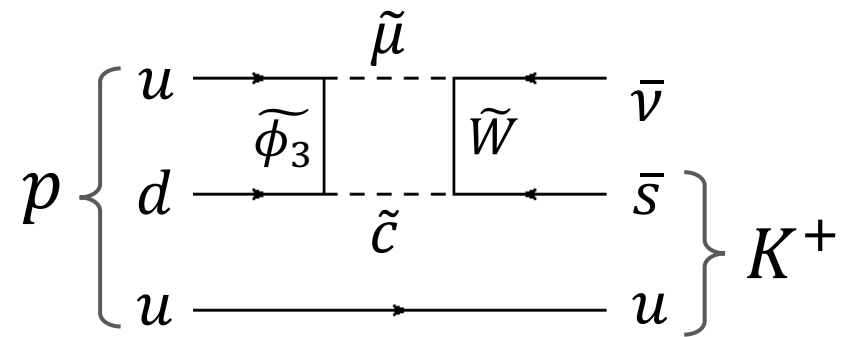
標準模型を拡張した最も単純な

$$SU(5) \rightarrow SU(3) \times SU(2) \times U(1)$$

ではない



Supersymmetric GUT

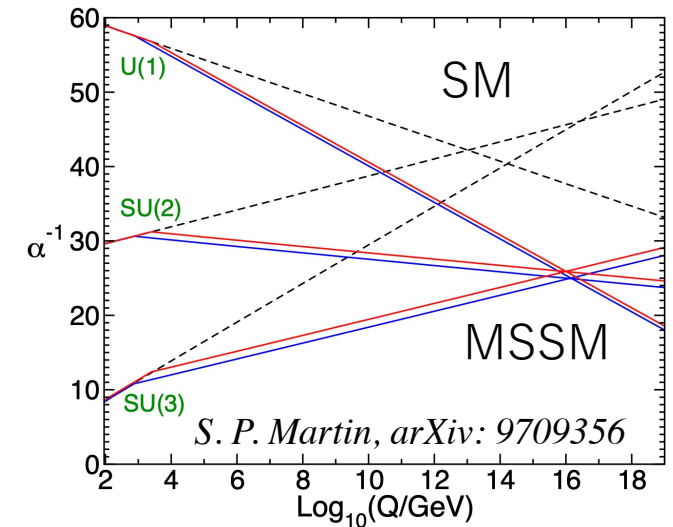


- 大統一理論とは異なるレベルの対称性
  - 粒子間の対称性 ( $SU(n)$ )ではなく時空の対称性
- GUTs  $\rightarrow$  SUSY GUTs (自然な拡張とも言える)

$SU(5)$ よりも大きな枠組み

$$\text{例: } SO(10) \rightarrow SU(5)$$

$$\rightarrow SU(3) \times SU(2) \times U(1)$$



# 大統一理論：検証

標準模型を拡張した最も単純な

$$SU(5) \rightarrow SU(3) \times SU(2) \times U(1) \quad \longrightarrow$$

ではない



## Supersymmetric GUT

- 大統一理論とは異なるレベルの対称性
  - 粒子間の対称性 ( $SU(n)$ )ではなく時空の対称性
- GUTs  $\rightarrow$  SUSY GUTs (自然な拡張とも言える)

SU(5)よりも大きな枠組み

$$\text{例: } SO(10) \rightarrow SU(5)$$

$$\rightarrow SU(3) \times SU(2) \times U(1)$$

$$p \rightarrow e^+ + \pi^0$$

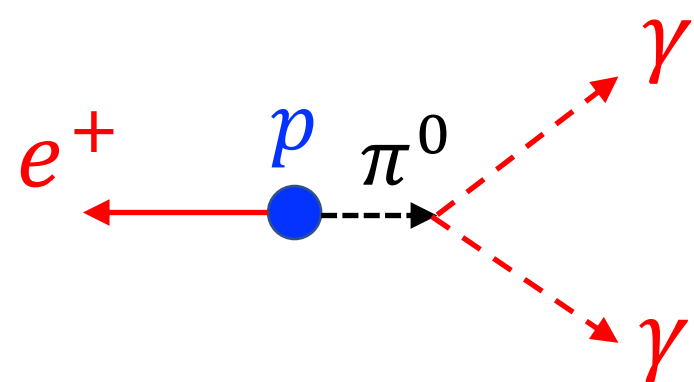
$$p \rightarrow \bar{\nu} + K^+$$

が探索のベンチマーク

続きは後半

# 陽子崩壊（核子崩壊）を探索する実験

$$p \rightarrow e^+ + \pi^0$$



3つの電磁シャワー (数百MeV)  $\Rightarrow$  全て観測可能

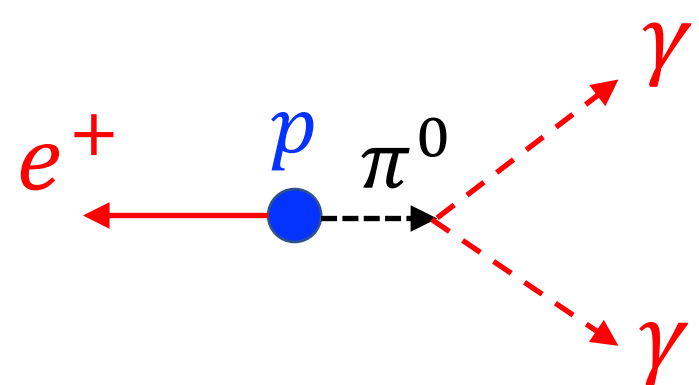
- 2つの電磁シャワーの不变質量 =  $M_\pi$
- 3つの電磁シャワーの不变質量 =  $M_p$
- Total momentum = 0 or Fermi motion

必要な情報：粒子の種類と運動量

探索の範囲を広げるには Mass (陽子数) + 検出器性能

$p \rightarrow e^+ + \pi^0$  の探索に必要な条件を考えると  
水チェレンコフ検出器は必然と言える

$$p \rightarrow e^+ + \pi^0$$

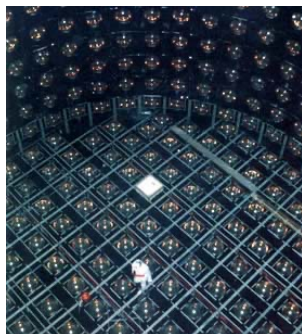


3つの電磁シャワー (数百MeV)  $\Rightarrow$  全て観測可能

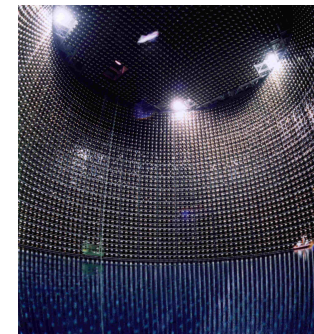
- 2つの電磁シャワーの不变質量 =  $M_\pi$
- 3つの電磁シャワーの不变質量 =  $M_p$
- Total momentum = 0 or Fermi motion

必要な情報：粒子の種類と運動量

探索の範囲を広げるには Mass (陽子数) + 検出器性能



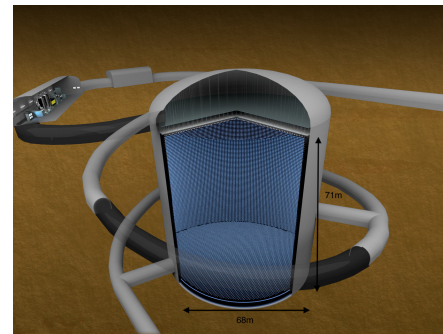
Kamiokande  
(1983-1996)



Super-Kamiokande  
(1996 - ongoing)

有効体積  
22.5 → 27.2\* kton  
( $\sim 10^{34}$  protons)

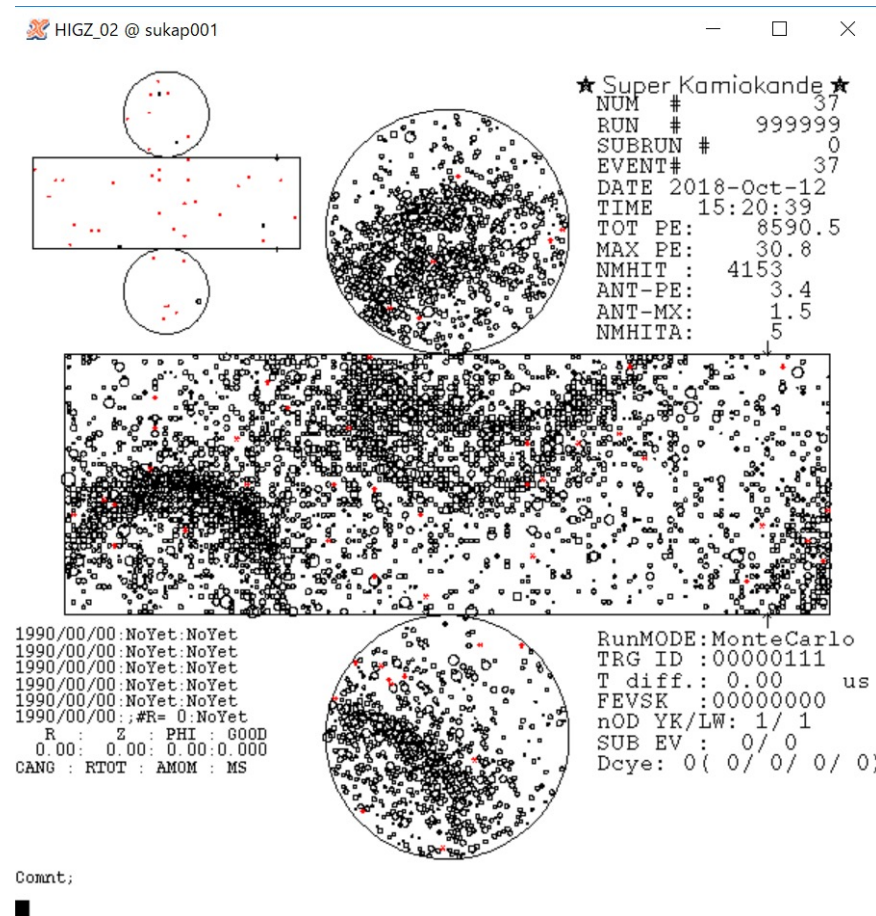
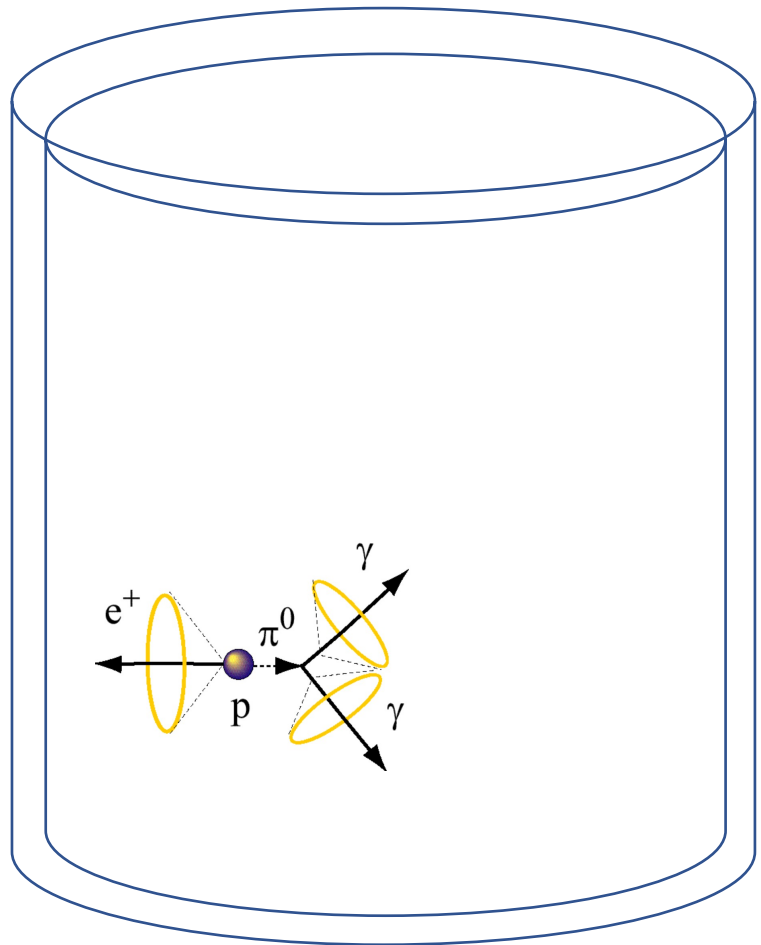
\* 有効体積の拡張  
*A. Takenaka et al.*  
*Phys. Rev. D 102, 112011 (2020)*



Hyper-Kamiokande  
(start operation in 2027)

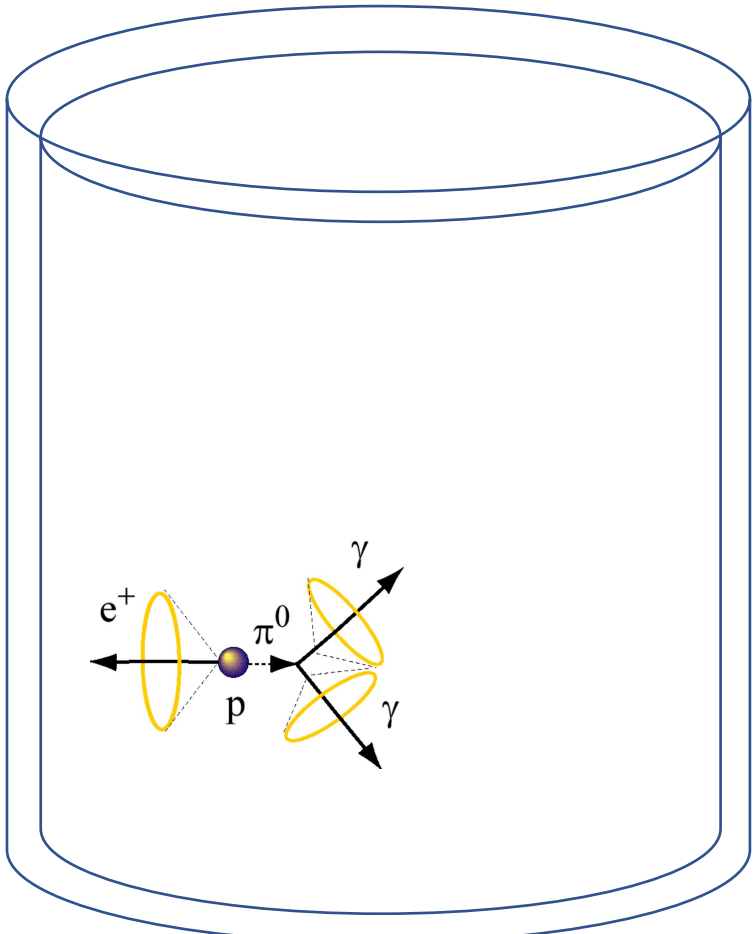
有効体積  
188 kton  
( $\sim 10^{35}$  protons)

# 信号（スーパー・カミオカンデの場合）



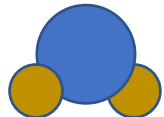
$p \rightarrow e^+ + \pi^0$  のイベントディスプレイ  
(モンテカルロシミュレーション)

# 信号（スーパー・カミオカンデの場合）



注意点

水分子

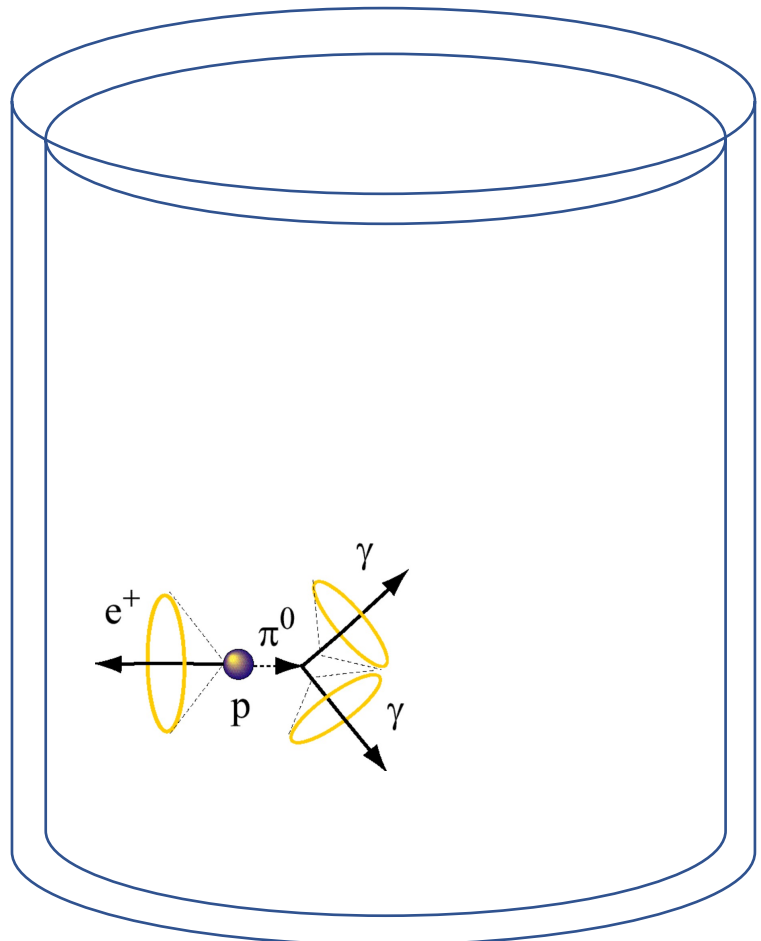


酸素原子核中の陽子の場合は

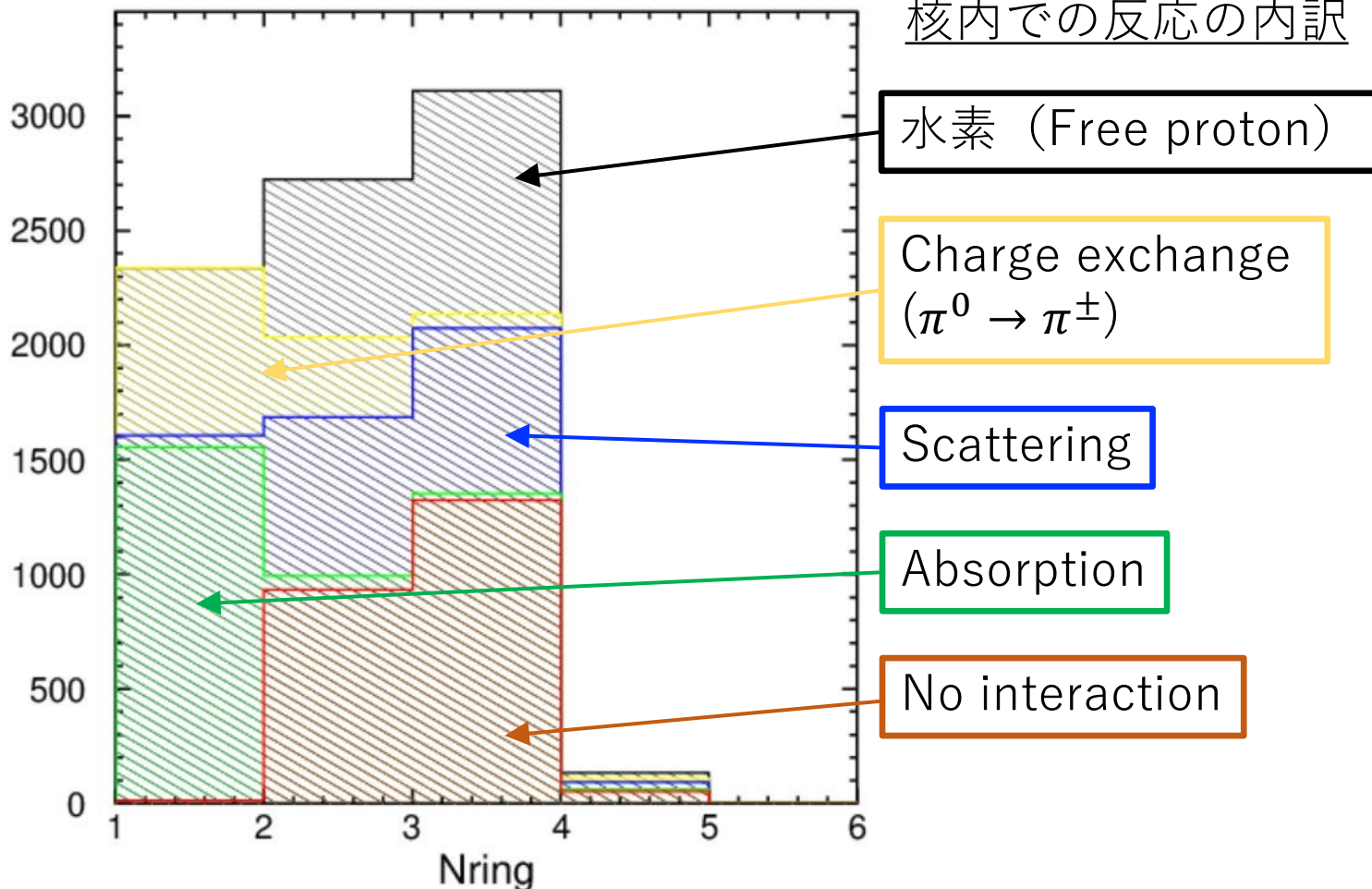
- フェルミ運動 ( $\sim 200\text{MeV}/c$ )
  - 原子核中の束縛エネルギー (15-40MeV)
  - 核内効果 (メソンが核内で散乱・吸収)
- などの影響により理想的な信号からずれる  
(不定性も比較的大きい)

水素原子核 (=Free proton) は  
検出効率が高い & 不定性が小さい

# 信号（スーパー・カミオカンデの場合）

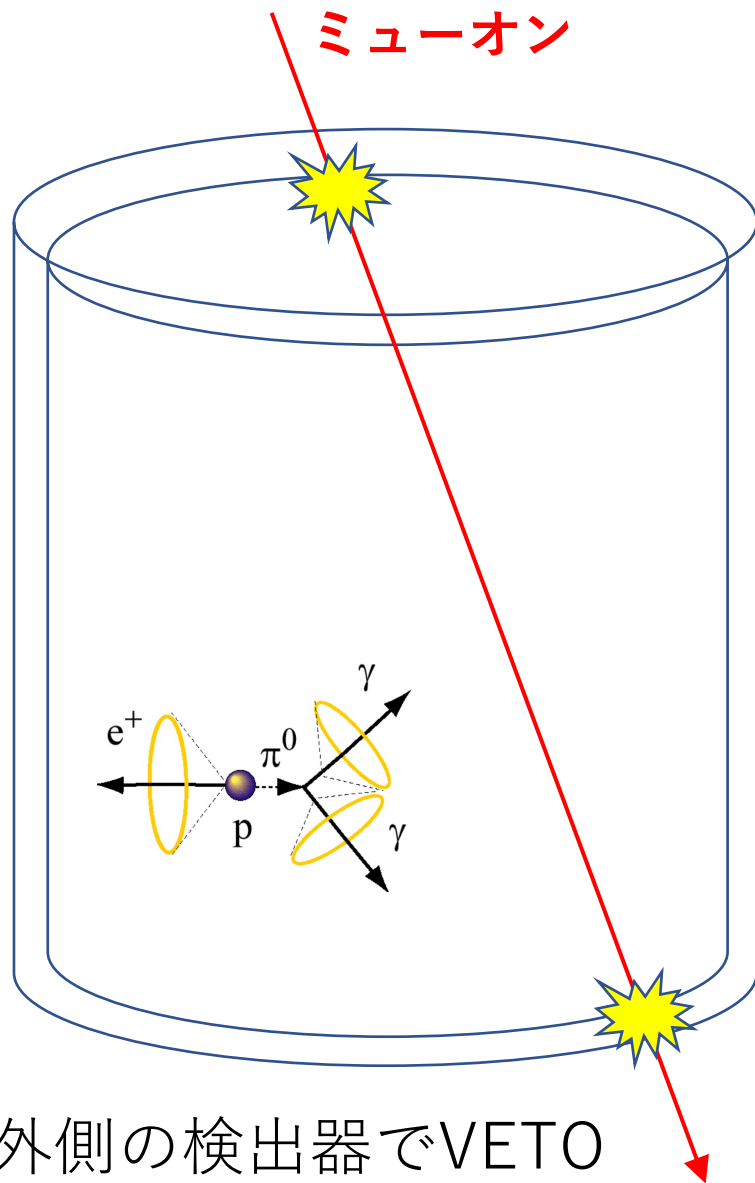


Vietnam School on Neutrinos (2019)  
での三浦さん (ICRR) のスライドから

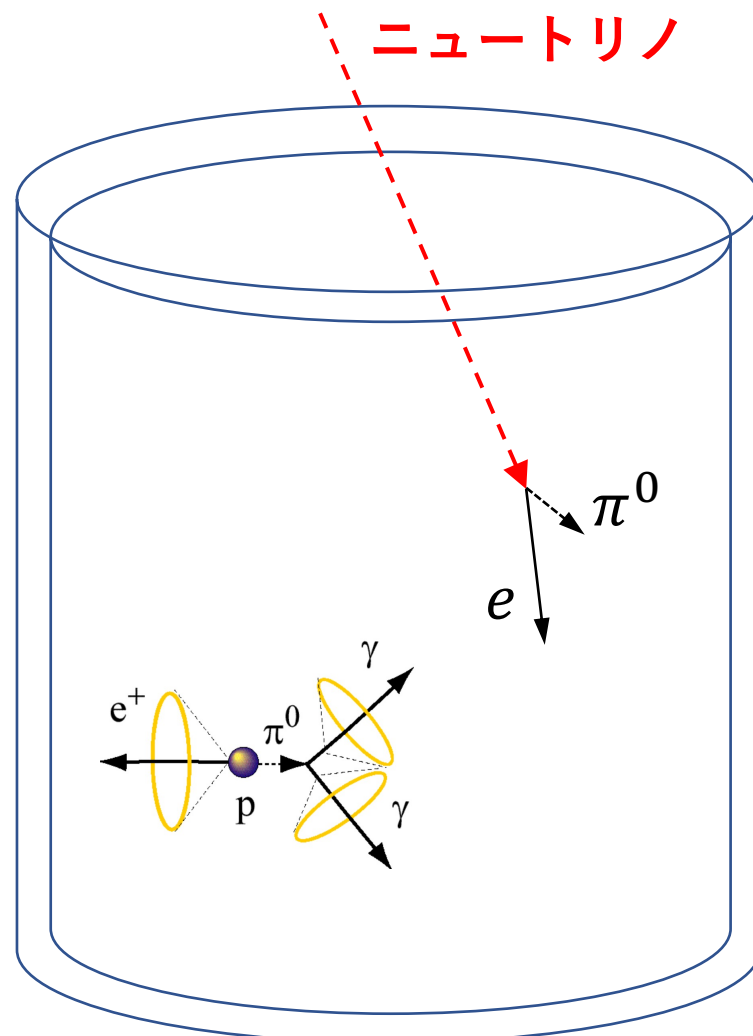


⇒ 2 or 3 リング事象が信号の候補として選別される

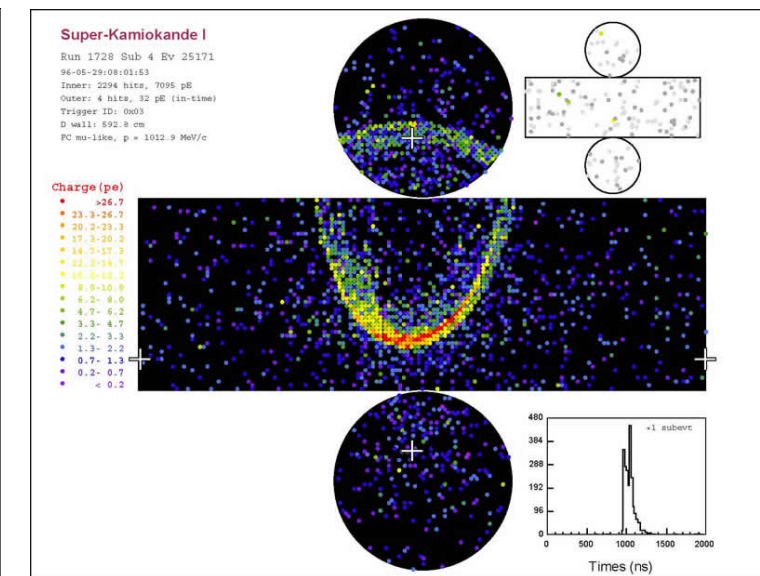
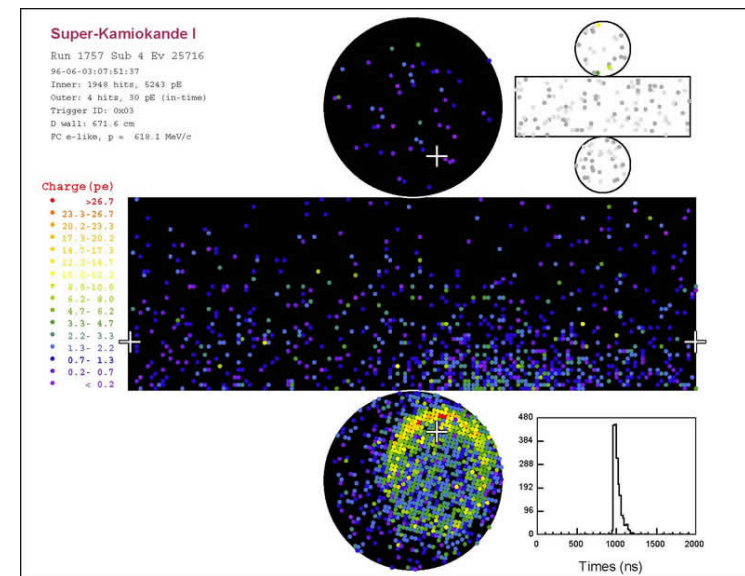
# バックグラウンド（スーパーカミオカンデの場合）



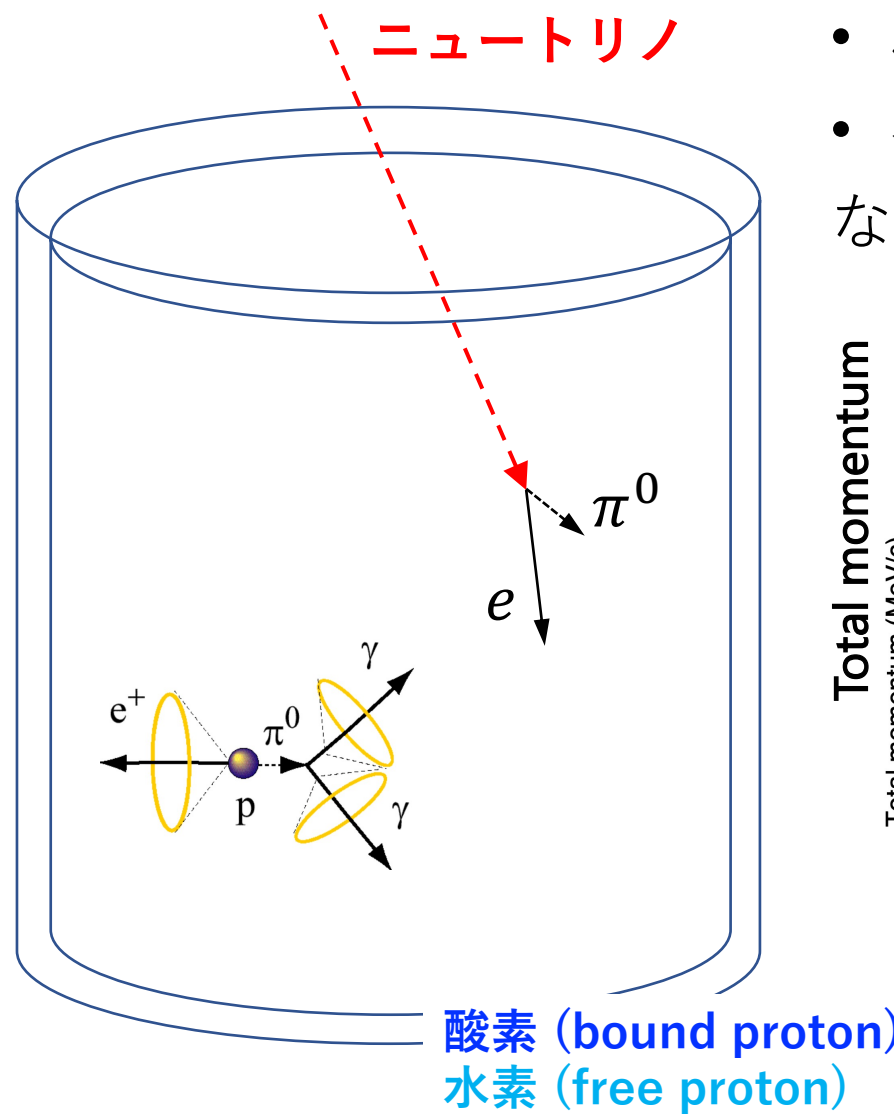
# バックグラウンド（スーパーカミオカンデの場合）



- 粒子（リング）の種類・数
- 不変質量
- などで識別

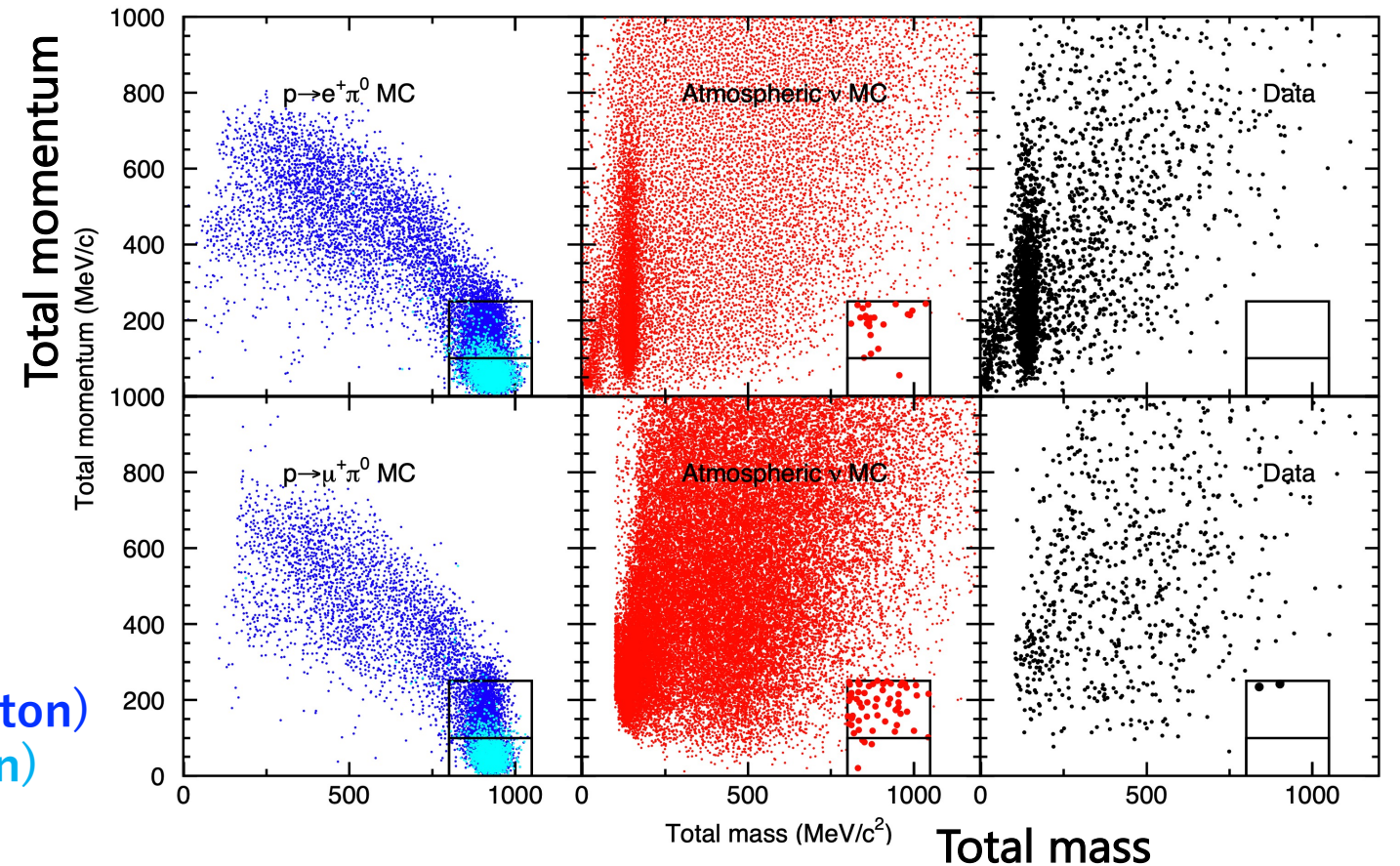


# バックグラウンド（スーパーカミオカンデの場合）

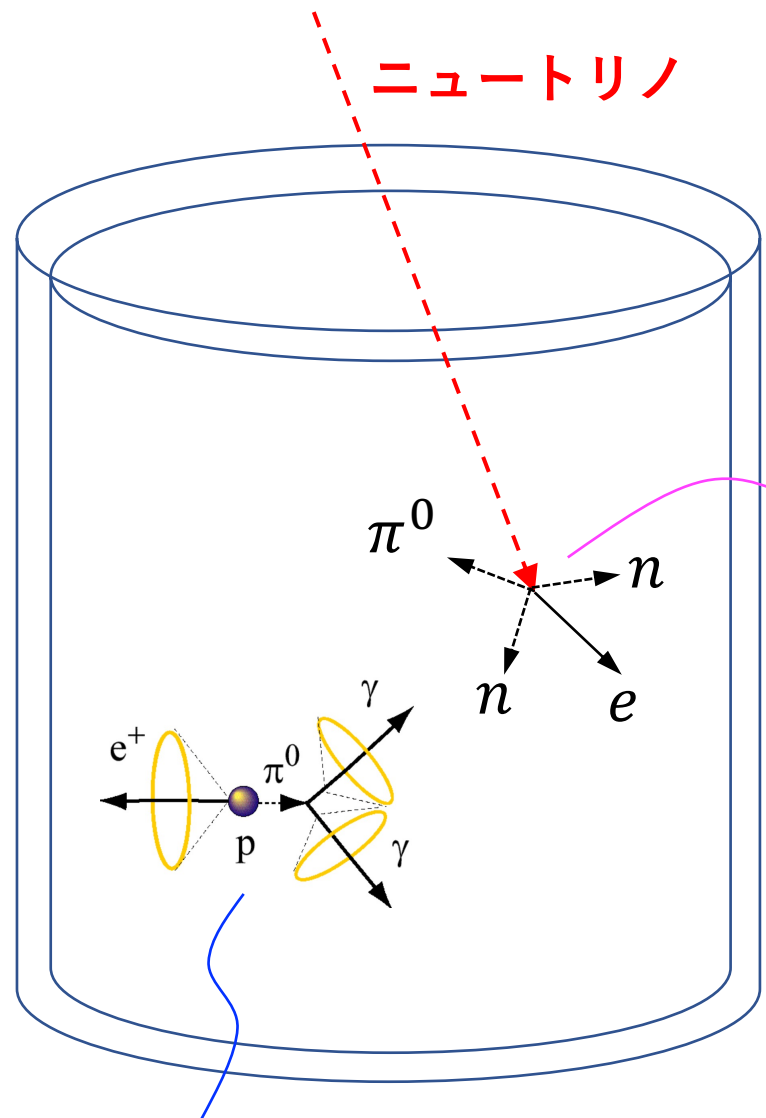


- 粒子（リング）の種類・数
- 不变質量
- などで識別

検出効率 ~38%  
BG < 1 /Mt·yr (low  $p_{\text{tot}}$ )  
~ 1 /Mt·yr (high  $p_{\text{tot}}$ )



# バックグラウンド（スーパーカミオカンデの場合）

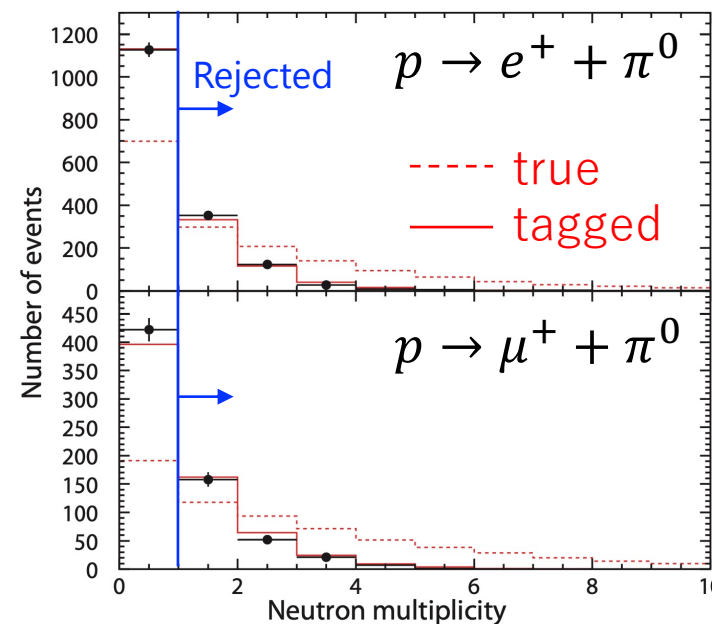


信号では中性子はあまり発生しない

- 観測できない粒子が発生
- ハドロンの散乱・吸収などの要因でバックグラウンドになる

中性子の情報が強力

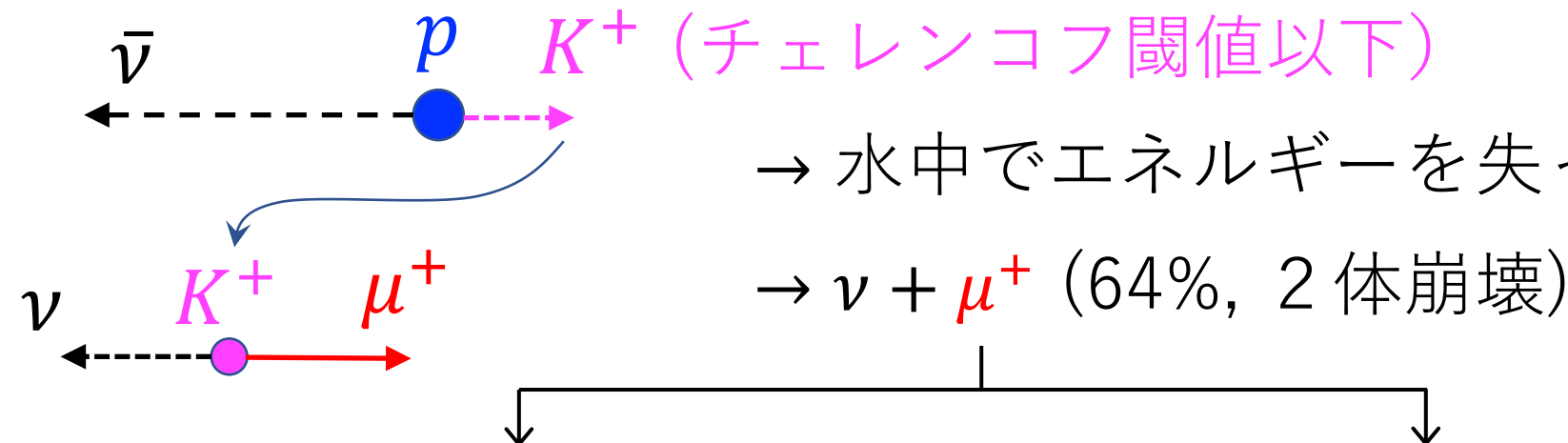
大気ニュートリノ事象の中性子数  
(+サイドバンドデータ)



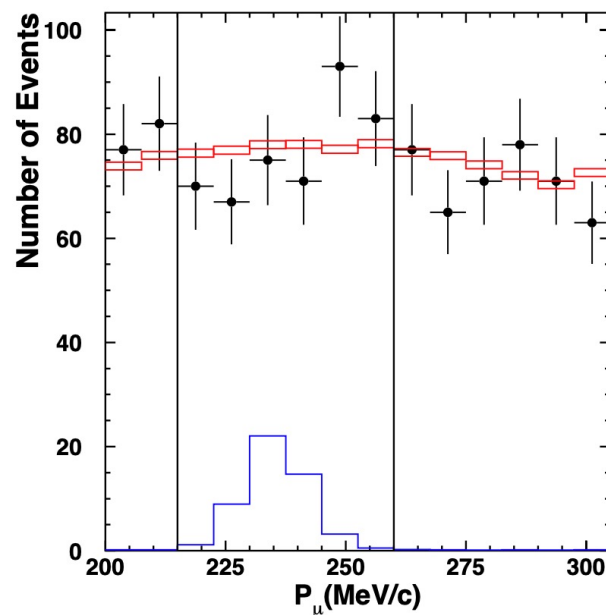
約半数の  
バックグラウンドが  
落とせる

# SUSY GUTs: $p \rightarrow \bar{\nu} + K^+$

K. Abe et al., Phys. Rev. D 90, 072005 (2014)

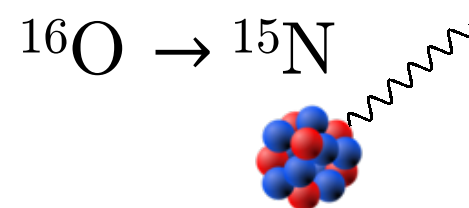


エネルギースペクトルでピークを探す

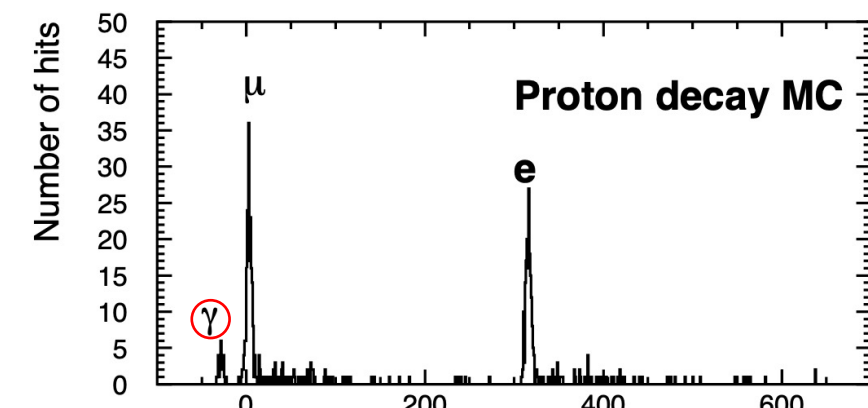


→ 水中でエネルギーを失って崩壊 ( $\tau = 12$  ns)  
 →  $\nu + \mu^+$  (64%, 2体崩壊)

陽子崩壊後の脱励起で発生する 6.3 MeV の  
 ガンマ線をタグ ( $5 \times 10^{-4}$  BG reduction)



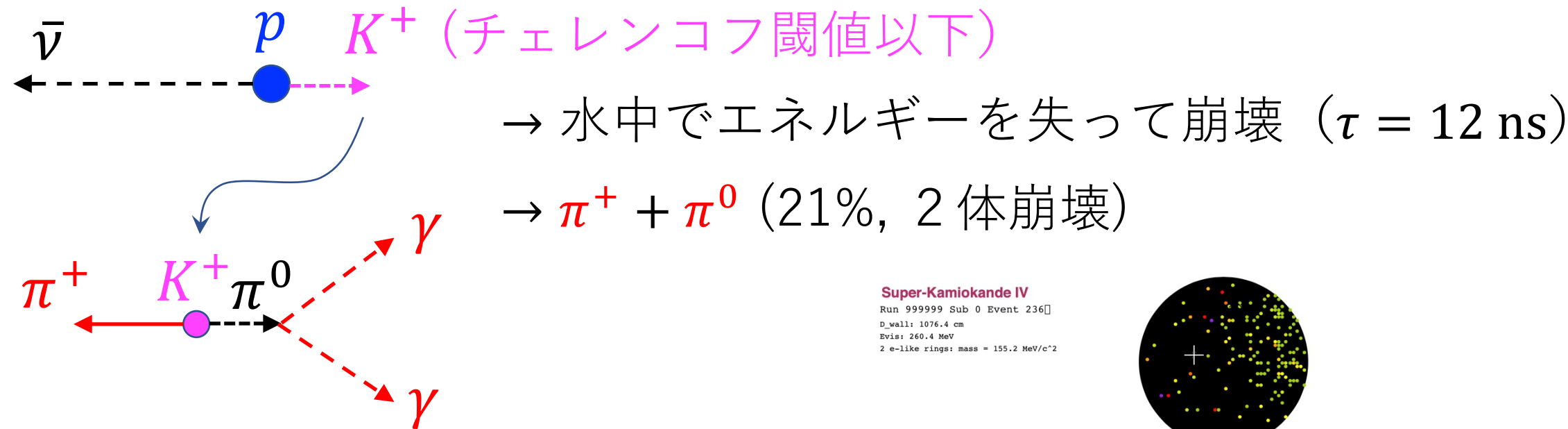
放出確率 : ~40%



検出効率~9% (Br:64% ×  $\gamma$ :40% ×  $\epsilon$ ) / BG~1.5/Mt·yr

# SUSY GUTs: $p \rightarrow \bar{\nu} + K^+$

K. Abe et al., Phys. Rev. D 90, 072005 (2014)

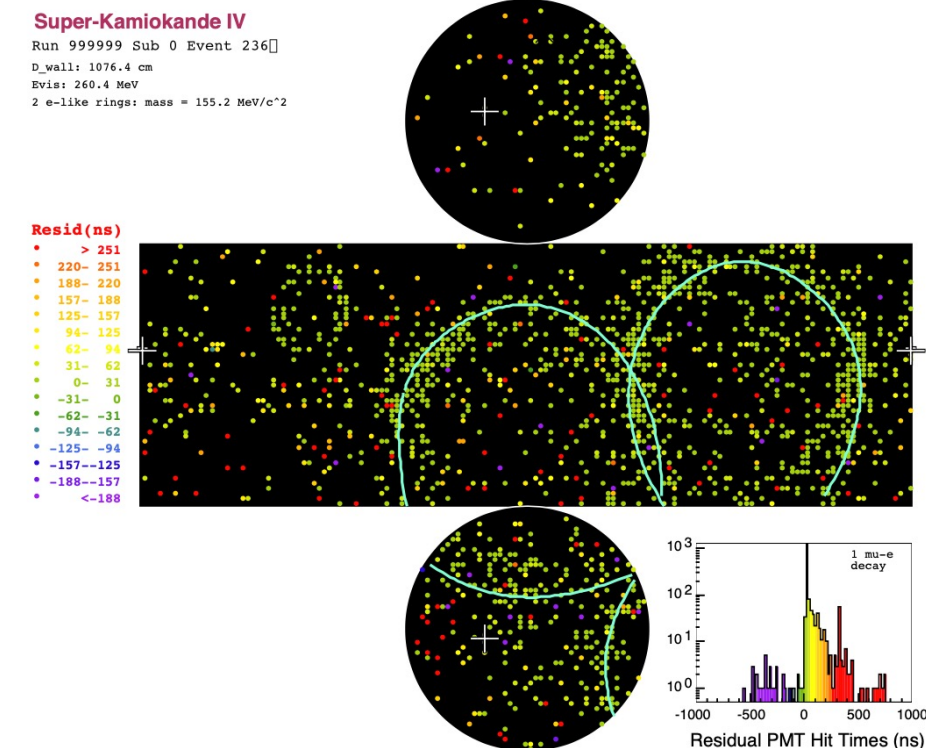


- $\pi^0$ の不变質量と運動量(206MeV/c)

- $\pi^0$ と反対側のエネルギー応答

などで選別

検出効率~10% (Br:21% ×  $\epsilon$ ) / BG ~2/Mt·yr



# 陽子崩壊探索の展望

# 大統一理論：検証

$$p \rightarrow e^+ + \pi^0$$

$$\tau/B(p \rightarrow e^+ + \pi^0) > 2.4 \times 10^{34} \text{ years}$$

Ref: PRD102, 1120011 (2020)

$$p \rightarrow \bar{\nu} + K^+$$

$$\tau/B(p \rightarrow \bar{\nu} + K^+) > 8.2 \times 10^{33} \text{ years}$$

Ref: PRL113, 121802 (2014) → updated

が探索のベンチマーク



$$\tau/B(p \rightarrow \bar{\nu} + K^+) < 2.9 \times 10^{30} \text{ years in Minimal SUSY SU(5)}$$

H. Murayama and A. Pierce, Phys. Rev. D65, 55009 (2002)

→ Minimal SU(5) より大きな枠組み

# スーパー・カミオカンデによる幅広い探索

$> 10^{34}$  yr    $> 10^{33}$  yr    $> 10^{32}$  yr

## Minimal non-SUSY SO(10)

D.G. Lee, M.K. Parida, and M. Rani, Phys. Rev. D51, 229 (1995).

$$\tau_B \sim 10^{30-40} \text{ yr}$$

## Flipped SU(5)

I. Antoniadis, J. Ellis, J. S. Hagelin and D. V. Nanopoulos, Phys. Lett. B 231, 65 (1989).

$$\tau_B \sim 10^{34 \pm 2} \text{ yr}$$

## SUSY SO(10)

V. Lucas and S. Ruby, Phys. Rev. D55, 6986 (1997).

$$\tau_B \sim 10^{32-34} \text{ yr}$$

スフェルミオン間にフレーバー混合があると  
様々な崩壊モードが可能になる

N. Nagata and S. Shirai, JHEP 1403, 049 (2014).

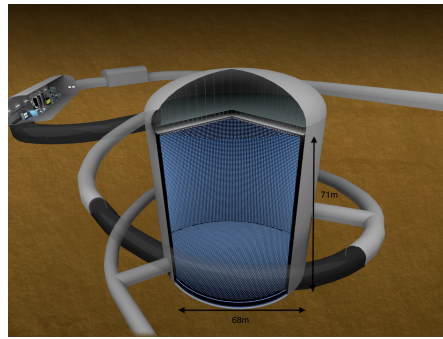
Ref. talk by 永田さん

新学術領域「ニュートリノで拓く素粒子と宇宙」研究会 (2018)

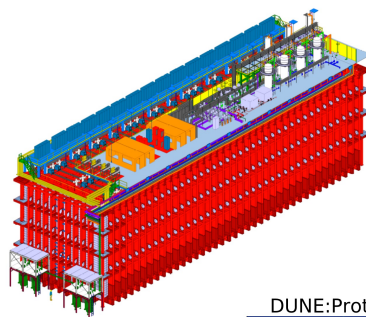
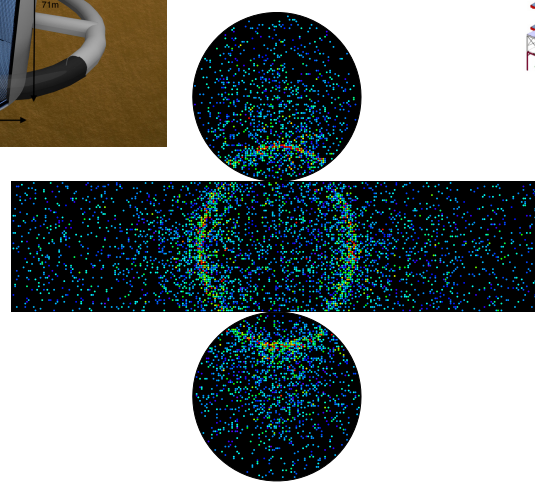
→ 実験では幅広い探索が重要

Mode	Limit(yr) 90%CL	Reference
$p \rightarrow e^+ + \pi^0$	$2.4 \times 10^{34}$	PRD102, 1120011 (2020)
$p \rightarrow \mu^+ + \pi^0$	$1.6 \times 10^{34}$	PRD102, 1120011 (2020)
$p \rightarrow \bar{\nu} + K^+$	$8.2 \times 10^{33}$	PRD90, 072005 (2014) → update
$p \rightarrow e^+ + e^+ + e^-$	$3.4 \times 10^{34}$	PRD101, 052011 (2020)
$p \rightarrow \mu^+ + e^+ + e^-$	$2.3 \times 10^{34}$	PRD101, 052011 (2020)
$p \rightarrow \mu^- + e^+ + e^+$	$1.9 \times 10^{34}$	PRD101, 052011 (2020)
$p \rightarrow e^+ + \mu^+ + \mu^-$	$9.2 \times 10^{33}$	PRD101, 052011 (2020)
$p \rightarrow e^- + \mu^+ + \mu^+$	$1.1 \times 10^{34}$	PRD101, 052011 (2020)
$p \rightarrow \mu^+ + \mu^+ + \mu^-$	$1.0 \times 10^{34}$	PRD101, 052011 (2020)
$p \rightarrow e^+ + \eta$	$1.0 \times 10^{34}$	PRD96, 012003 (2017)
$p \rightarrow \mu^+ + \eta$	$4.7 \times 10^{33}$	PRD96, 012003 (2017)
$p \rightarrow e^+ + \rho^0$	$7.2 \times 10^{32}$	PRD96, 012003 (2017)
$p \rightarrow \mu^+ + \rho^0$	$5.7 \times 10^{32}$	PRD96, 012003 (2017)
$p \rightarrow e^+ + \omega$	$1.6 \times 10^{33}$	PRD96, 012003 (2017)
$p \rightarrow \mu^+ + \omega$	$2.8 \times 10^{33}$	PRD96, 012003 (2017)
$p \rightarrow e^+ + X$	$7.9 \times 10^{32}$	PRL115, 121803 (2015)
$p \rightarrow \mu^+ + X$	$4.1 \times 10^{32}$	PRL115, 121803 (2015)
$p \rightarrow e^+ + \nu + \nu$	$1.7 \times 10^{32}$	PRL113, 101801 (2014)
$p \rightarrow \mu^+ + \nu + \nu$	$2.2 \times 10^{32}$	PRL113, 101801 (2014)
$p \rightarrow \bar{\nu} + \pi^+$	$3.9 \times 10^{32}$	PRL113, 121802 (2014)
$p \rightarrow \mu^+ + K^0$	$1.6 \times 10^{33}$	PRD86, 012006 (2012)

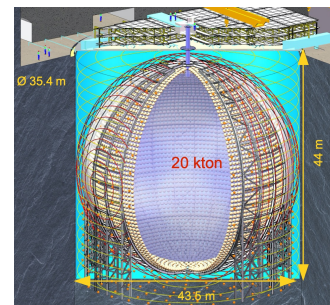
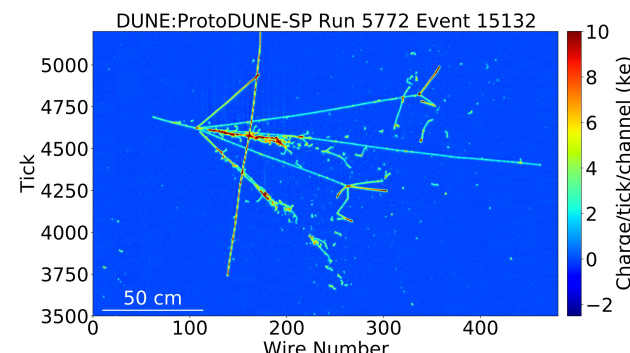
# 次世代実験



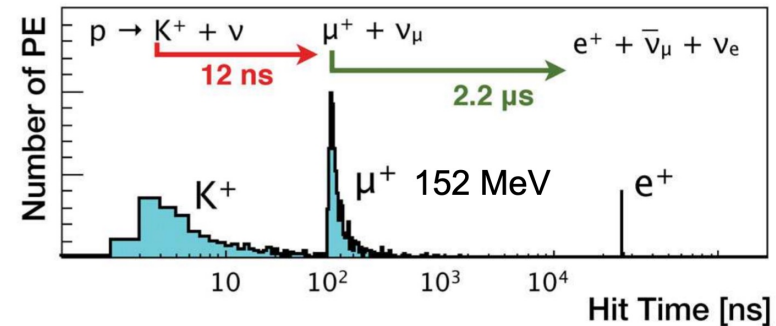
Hyper-K



DUNE



JUNO



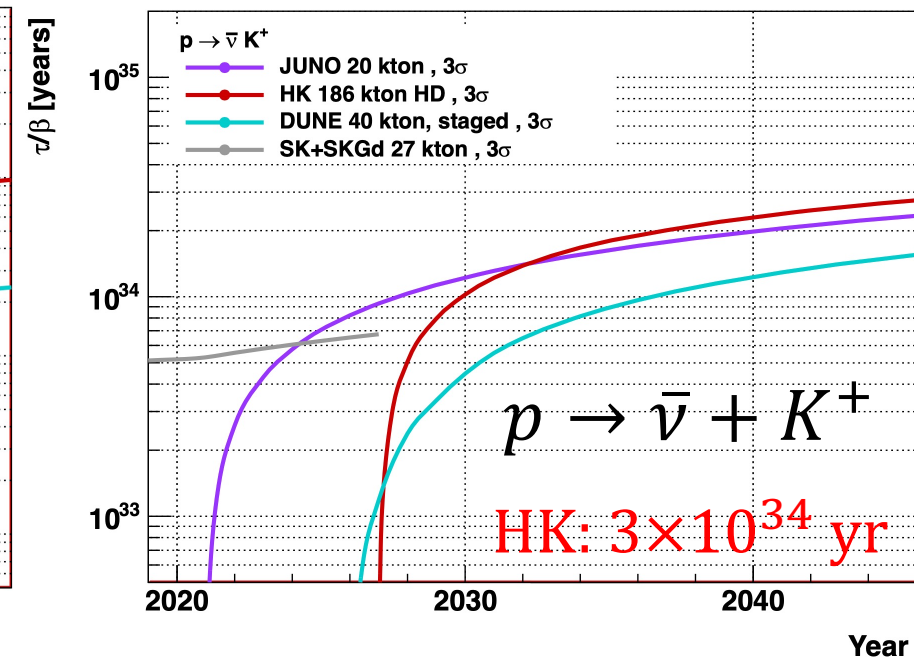
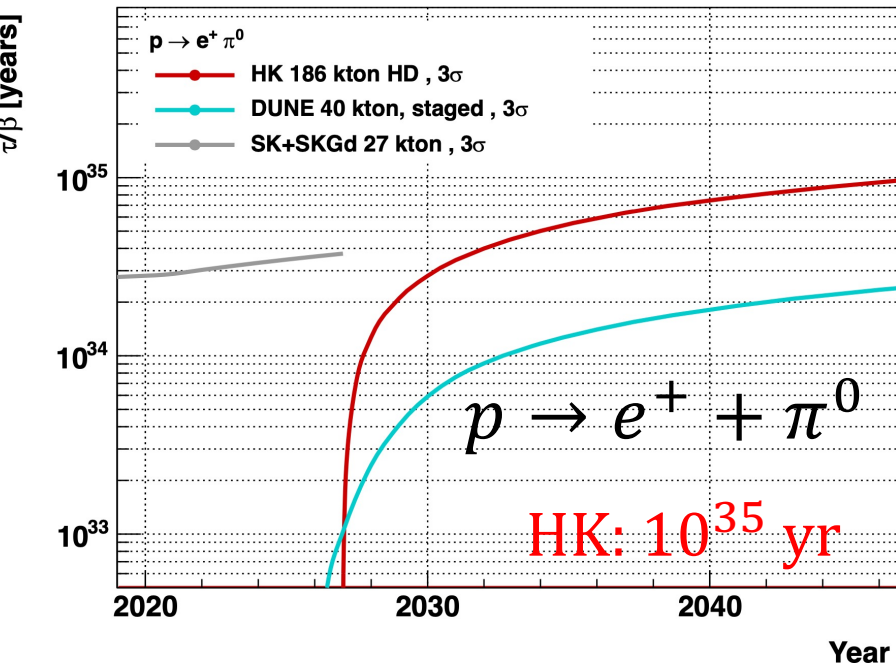
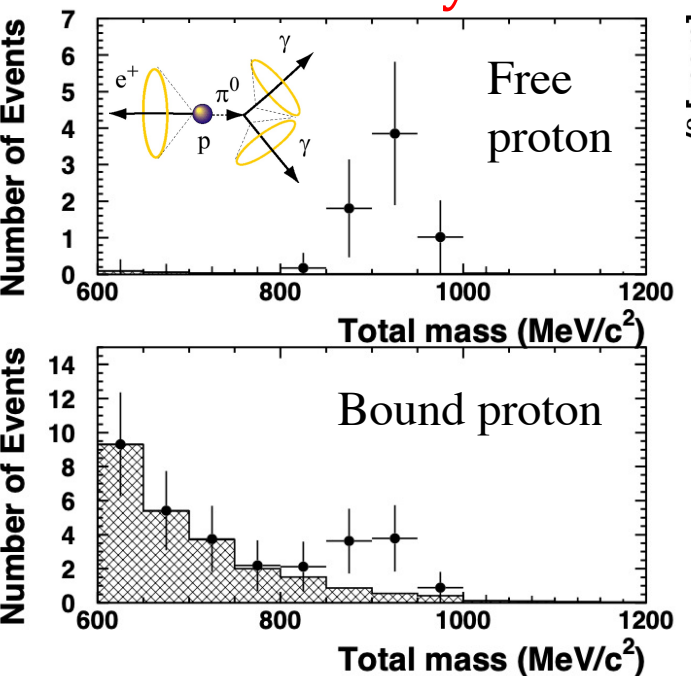
	ハイパーカミオカンデ	DUNE	JUNO
検出原理	水チエレンコフ	液体アルゴンTPC	液体シンチレータ
体積	260kton 有効体積: 188kton	68kton (17kton x 4機) 有効体積: 40kton	20kton
特徴	Super-Kを拡大 + 改良	粒子の飛跡を測定	エネルギー分解能が良い (3%)
開始時期	2027年	2026年 (2機で開始)	2022年

# 次世代実験

	ハイパーカミオカンデ	DUNE	JUNO
検出原理	水チェレンコフ	液体アルゴンTPC	液体シンチレータ
体積	260kton 有効体積: 188kton	68kton (17kton x 4機) 有効体積: 40kton	20kton
特徴	Super-Kを拡大 + 改良	粒子の飛跡を測定	エネルギー分解能が良い (3%)

After 10 years of HK

if  $\tau = 1.7 \times 10^{34}$  years ...



JUNO: *J. Phys. G* 43 (2016) 030401 (*arXiv:1507.05613*)

DUNE: *FERMILAB-PUB-20-025-ND* (*arXiv:2002.03005*)

# どこまで探せば良いか

- いつ見つかってもおかしくない

- SKで有力なモデルを棄却 or 検証  
→ HKで探索範囲を広げる
- SKで候補が出ればHKで崩壊モードの測定

将来計画では

- $p \rightarrow e^+ + \pi^0$  の探索範囲を広げる

- $p \rightarrow \bar{\nu} + K^+$  の探索範囲を広げる

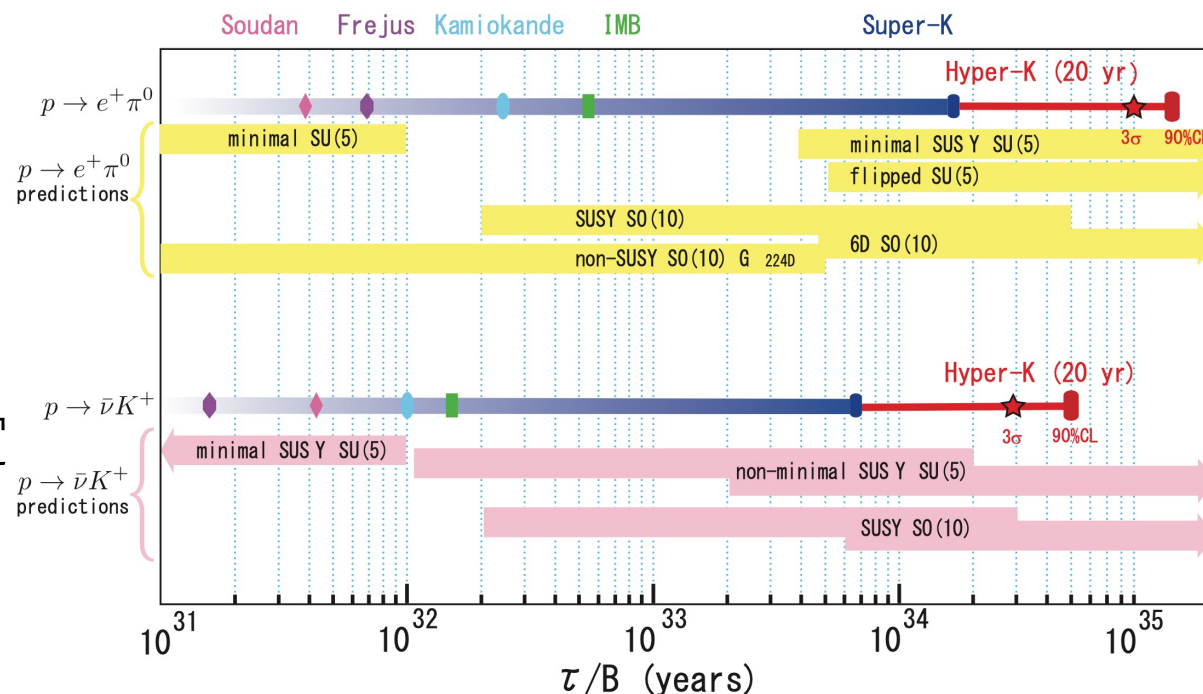
- 幅広いモードを探索する

→ **巨大で高性能な検出器が条件**

海の中とか月とかアイデアはあるが

- $p \rightarrow e^+ + \pi^0$  に特化すると  $p \rightarrow \bar{\nu} + K^+$  の探索が難しい

- $p \rightarrow \bar{\nu} + K^+$  に特化すると (飛跡検出器とか)  $p \rightarrow e^+ + \pi^0$  が物足りない



と考えると、  
やはりまずは

